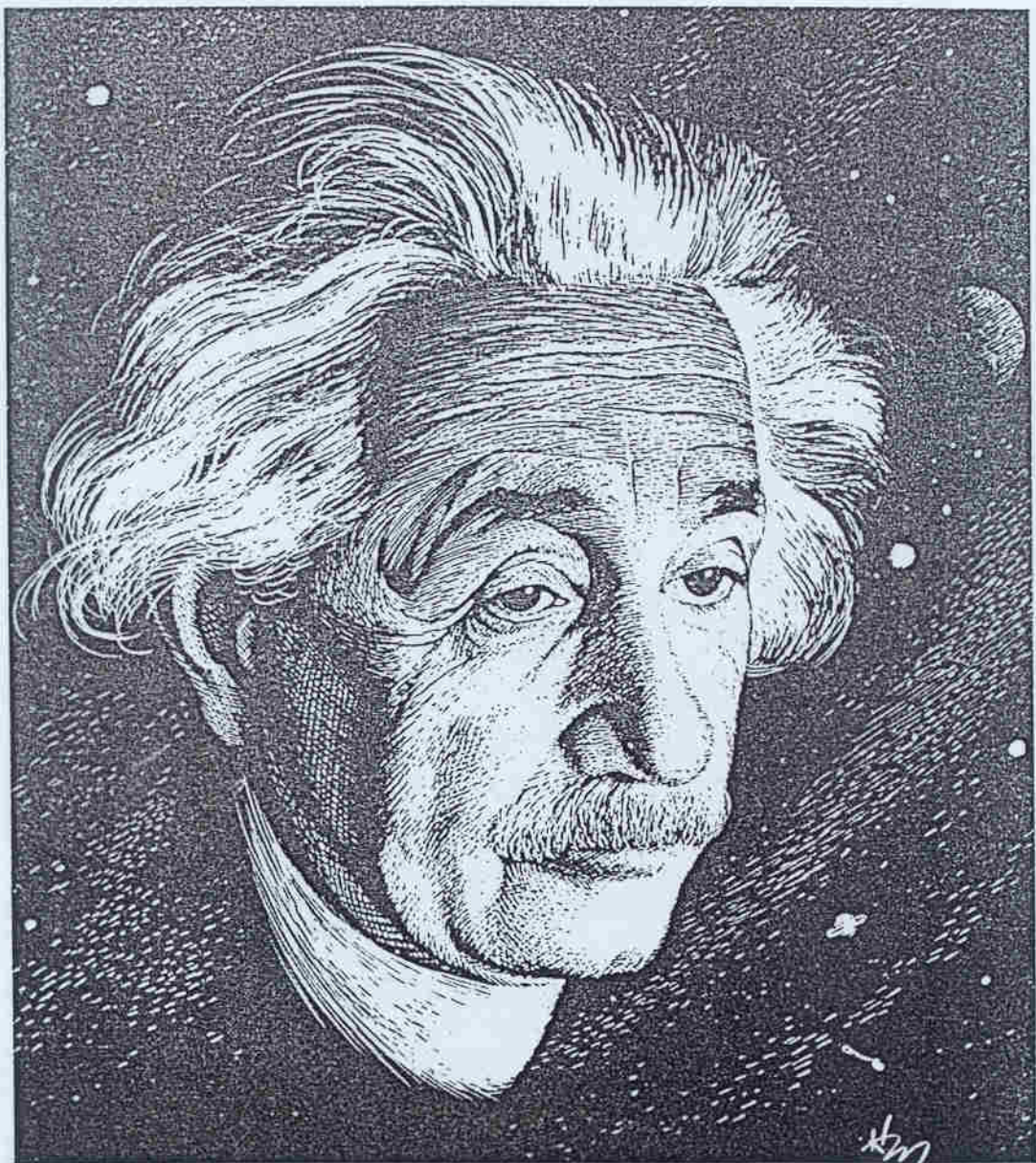


Relatividade
Restrita e geral



Hal McIntosh. Courtesy of the Saturday Review

ALBERT EINSTEIN

Ulm, Germany, March 14, 1879—Princeton, New Jersey, April 18, 1955

Relatividade Restrita

Einstein (1905)

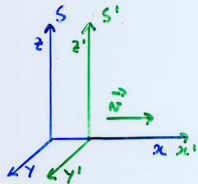
As leis da Física devem ser as mesmas em todos os referenciais de inércia.

A velocidade da luz no vácuo é constante independentemente da velocidade do observador (e da fonte).

Relatividade Restrita (resumo)

Postulados

- As leis da física são idênticas em todos os referenciais de inércia.
- A velocidade da luz é constante em todos os referenciais de inércia.



transf. de Lorentz

$$\begin{cases} x' = \gamma(x - v t) \\ y' = y \\ z' = z \\ t' = \gamma(t - \frac{v}{c^2}x) \end{cases}$$

$$\gamma = 1 / (1 - v^2/c^2)^{\frac{1}{2}}$$

Contracção de Lorentz

$$\Delta L = \Delta L' / \gamma$$

Dilatação do tempo

$$\Delta t = \Delta t' \gamma$$

ou ainda

$$X^\mu = \Lambda^\mu_\nu X^\nu$$

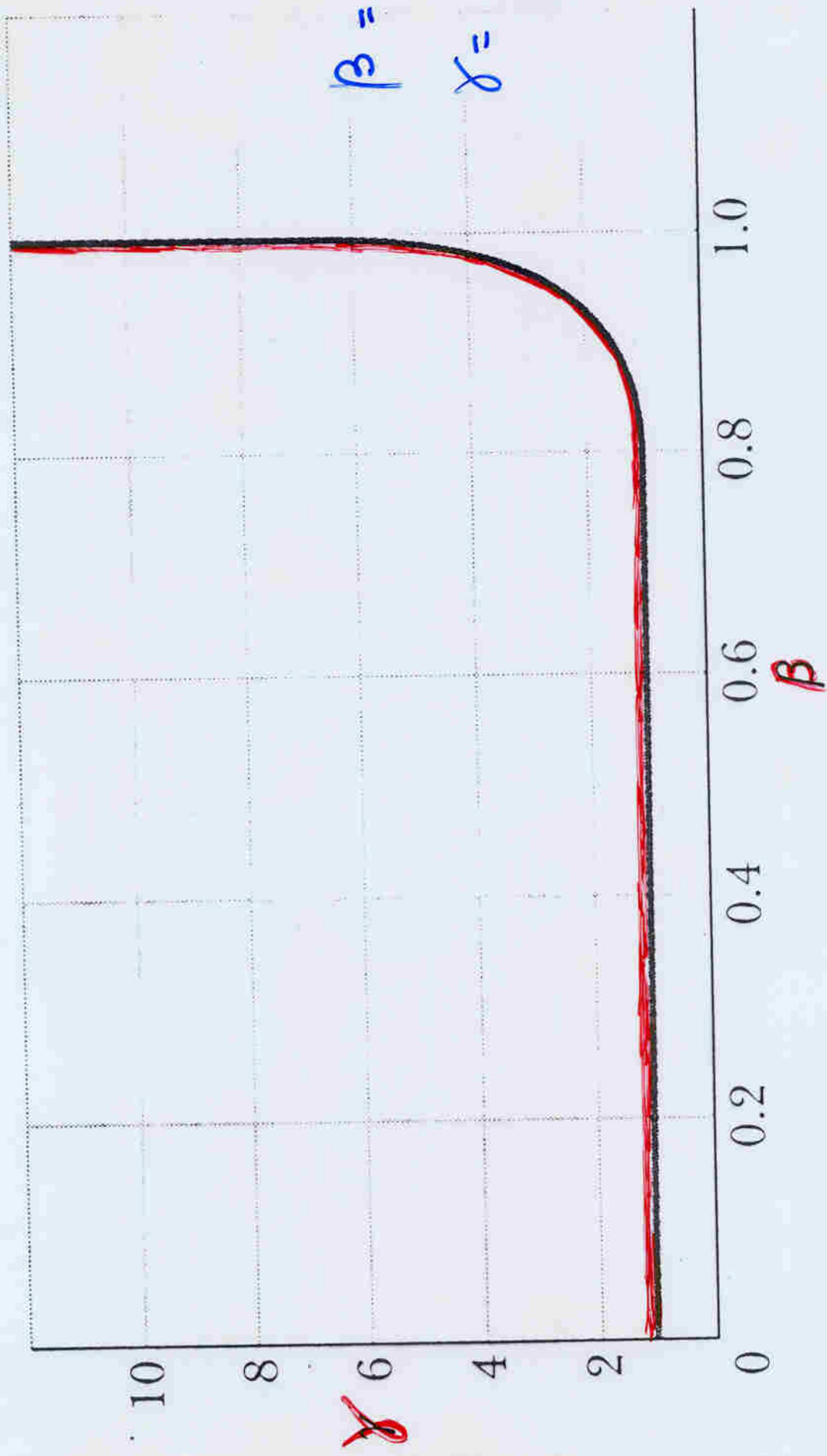
quadrivector

$$\begin{bmatrix} ct' \\ x' \\ y' \\ z' \end{bmatrix} = \begin{bmatrix} \gamma & -\gamma v & 0 & 0 \\ -\gamma v & \gamma & 0 & 0 \\ 0 & 0 & 1 & 0 \\ 0 & 0 & 0 & 1 \end{bmatrix} \begin{bmatrix} ct \\ x \\ y \\ z \end{bmatrix}$$

$$\beta = v/c$$

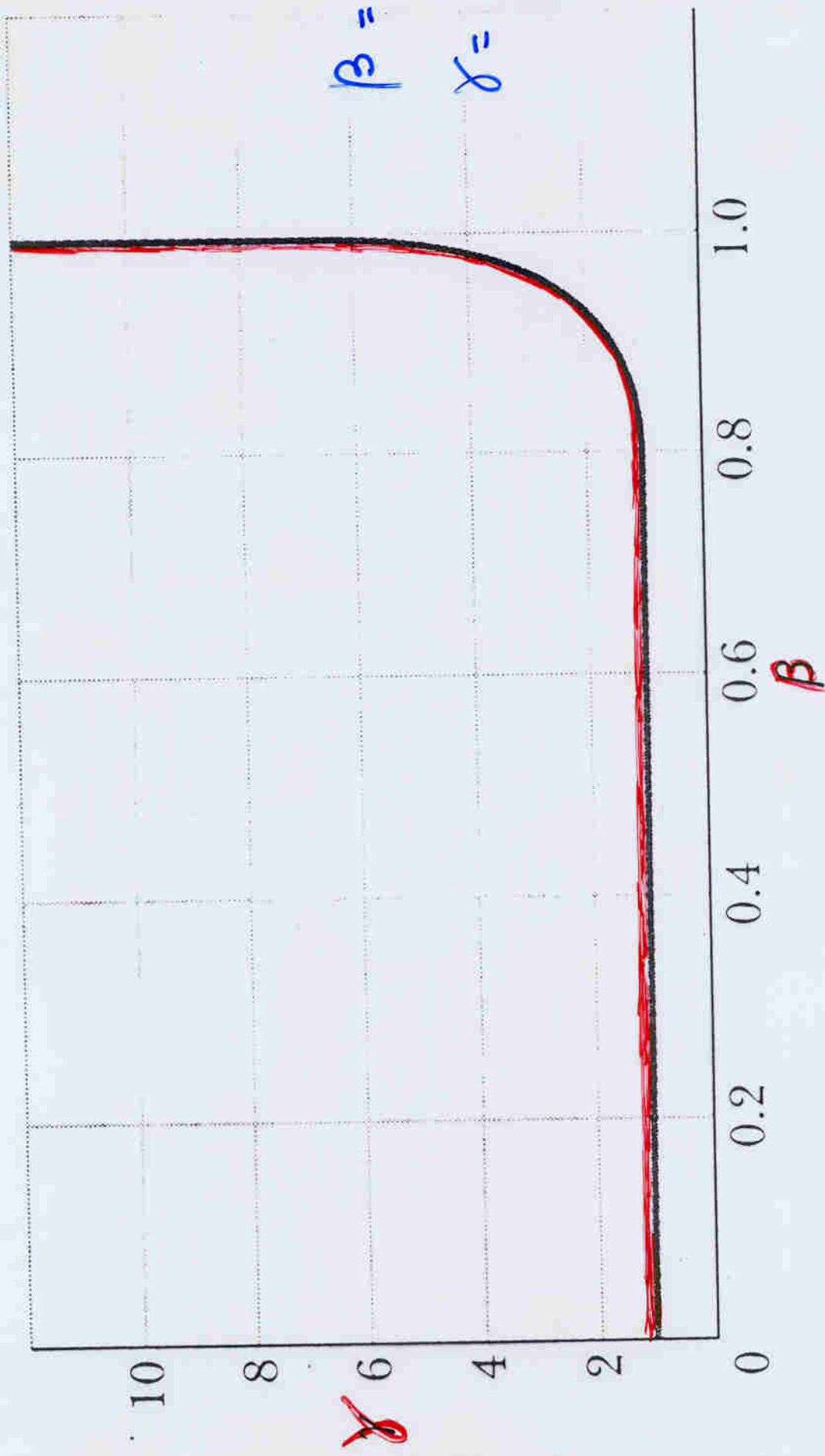
$$\beta = v/c$$

$$\gamma = \frac{1}{\sqrt{1-\beta^2}}$$



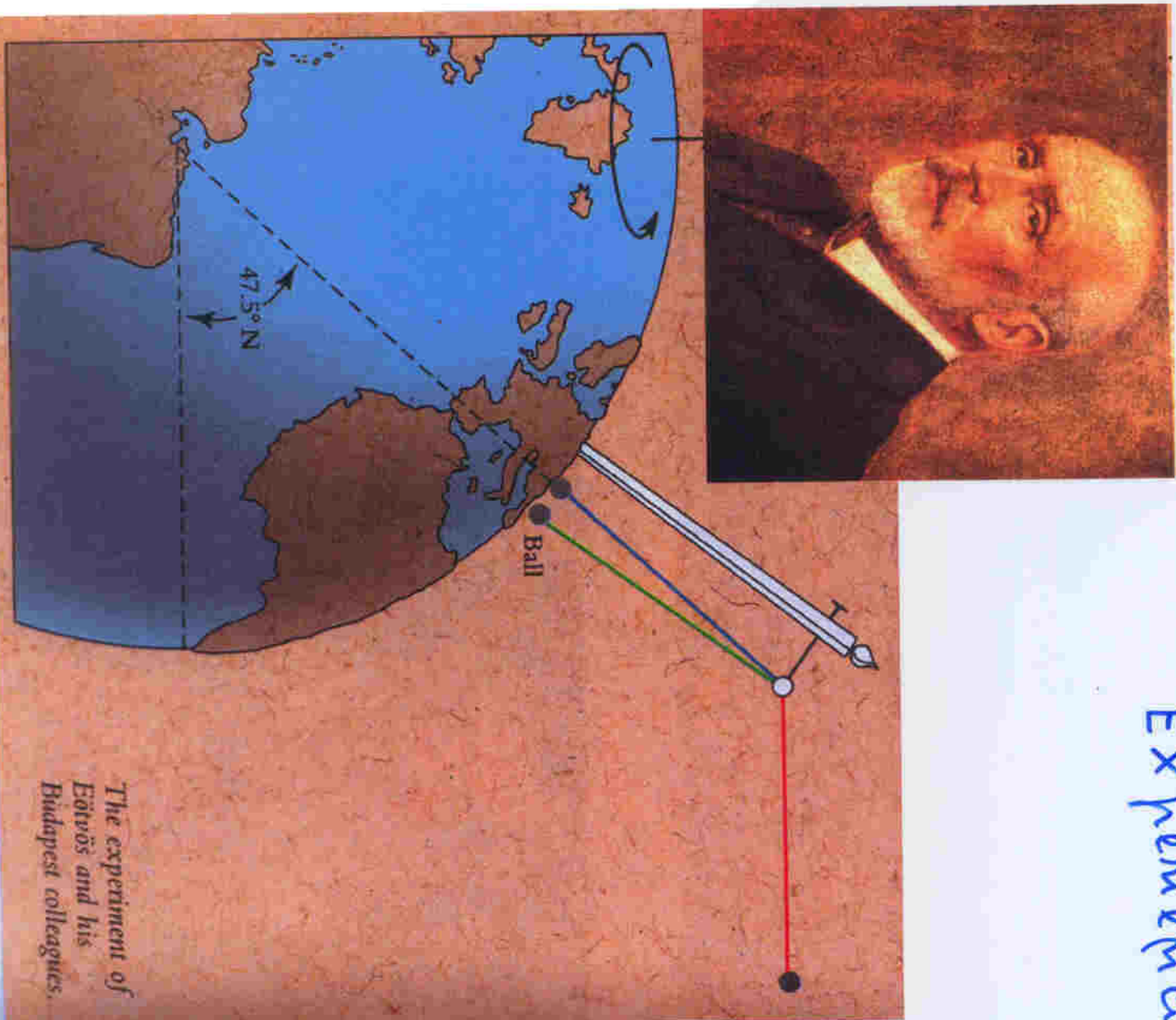
$$\beta = v/c$$

$$\gamma = \frac{1}{\sqrt{1-\beta^2}}$$



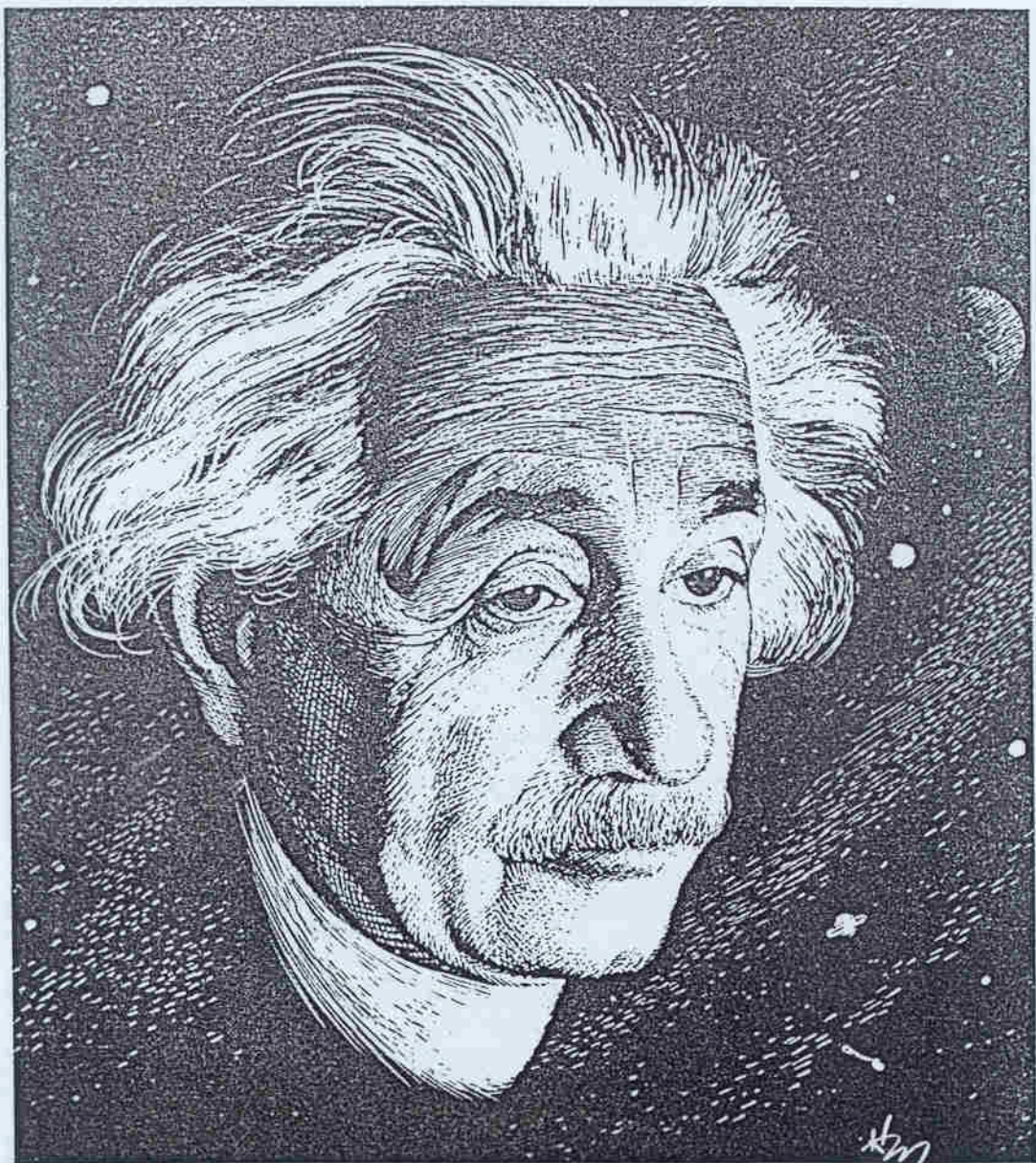
Experiência de Eötvös

The experiment of
Eötvös and his
Budapest colleagues



- Na experiência de gravidade o pendulo assimina a posição "nível"
- Na experiência de rotacao o pendulo assimina a posição "azul"
- Na experiência de gravidade a rotacao o pendulo assimina a posição verde independentemente do material em que é feito





Hal McIntosh. Courtesy of the Saturday Review

ALBERT EINSTEIN

Ulm, Germany, March 14, 1879—Princeton, New Jersey, April 18, 1955

Relatividade Restrita

Einstein (1905)

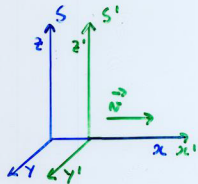
As leis da Física devem ser as mesmas em todos os referenciais de inércia.

A velocidade da luz no vácuo é constante independentemente da velocidade do observador (e da fonte).

Relatividade Restrita (resumo)

Postulados

- As leis da física são idênticas em todos os referenciais de inércia.
- A velocidade da luz é constante em todos os referenciais de inércia.



transf. de Lorentz

$$\begin{cases} x' = \gamma(x - v t) \\ y' = y \\ z' = z \\ t' = \gamma(t - \frac{v}{c^2}x) \end{cases}$$

$$\gamma = 1 / (1 - v^2/c^2)^{\frac{1}{2}}$$

Contracção de Lorentz

$$\Delta L = \Delta L' / \gamma$$

Dilatação do tempo

$$\Delta t = \Delta t' \gamma$$

ou ainda

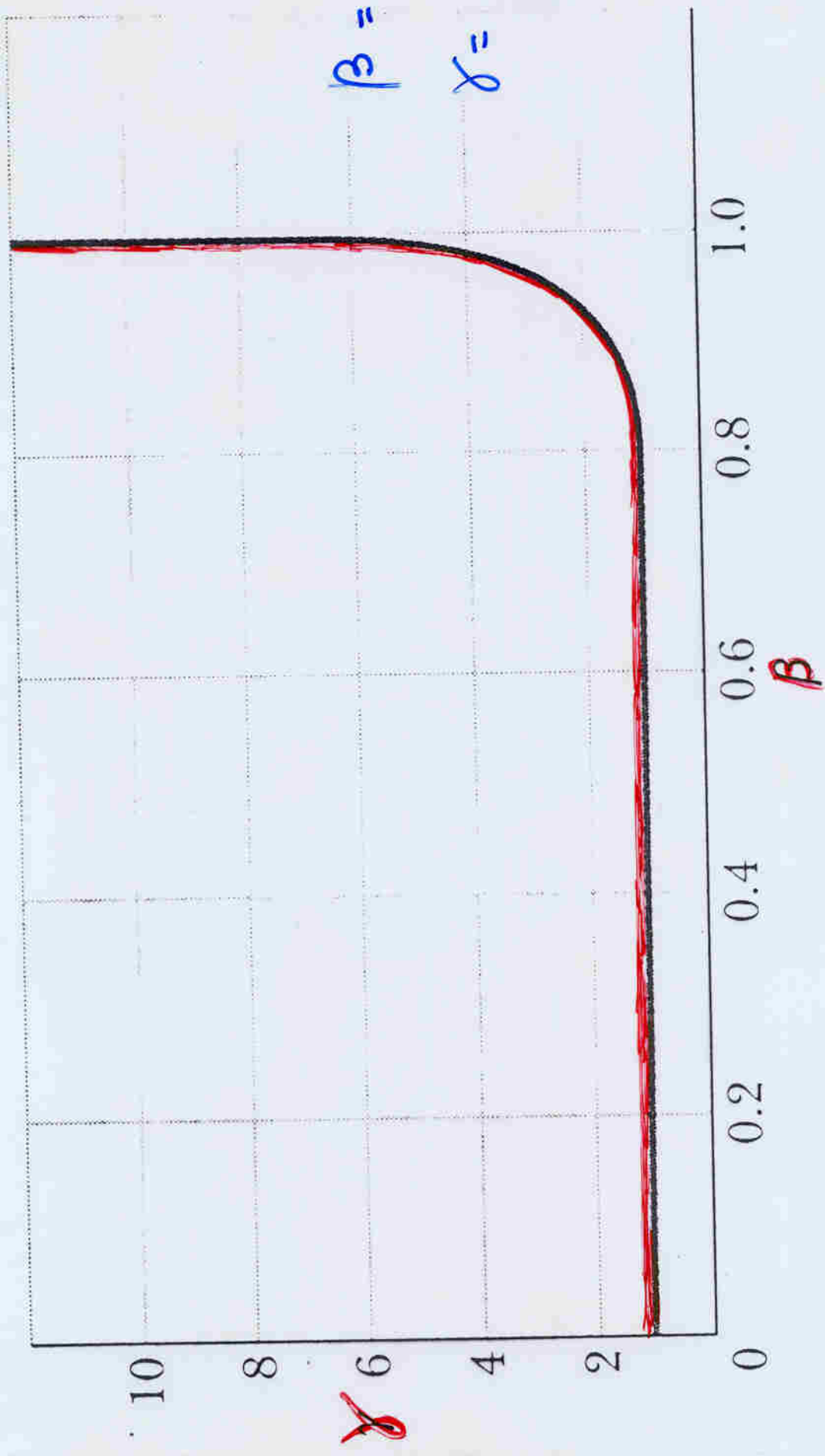
$$X^\mu = \Lambda^\mu_\nu X^\nu$$

quadrivector

$$\begin{bmatrix} ct' \\ x' \\ y' \\ z' \end{bmatrix} = \begin{bmatrix} \gamma & -\gamma v & 0 & 0 \\ -\gamma v & \gamma & 0 & 0 \\ 0 & 0 & 1 & 0 \\ 0 & 0 & 0 & 1 \end{bmatrix} \begin{bmatrix} ct \\ x \\ y \\ z \end{bmatrix}$$

$$\beta = v/c$$

$$\beta = \frac{v/c}{\sqrt{1-\beta^2}}$$



Transformação de Lorentz

$$x' = \frac{x - vt}{\sqrt{1 - \frac{v^2}{c^2}}}$$

$$y' = y$$

$$z' = z$$

$$t' = \frac{t - vx/c^2}{\sqrt{1 - \frac{v^2}{c^2}}}$$

$$x' = \frac{x - \beta z}{\sqrt{1 - \beta^2}}$$

$$\beta = v/c$$

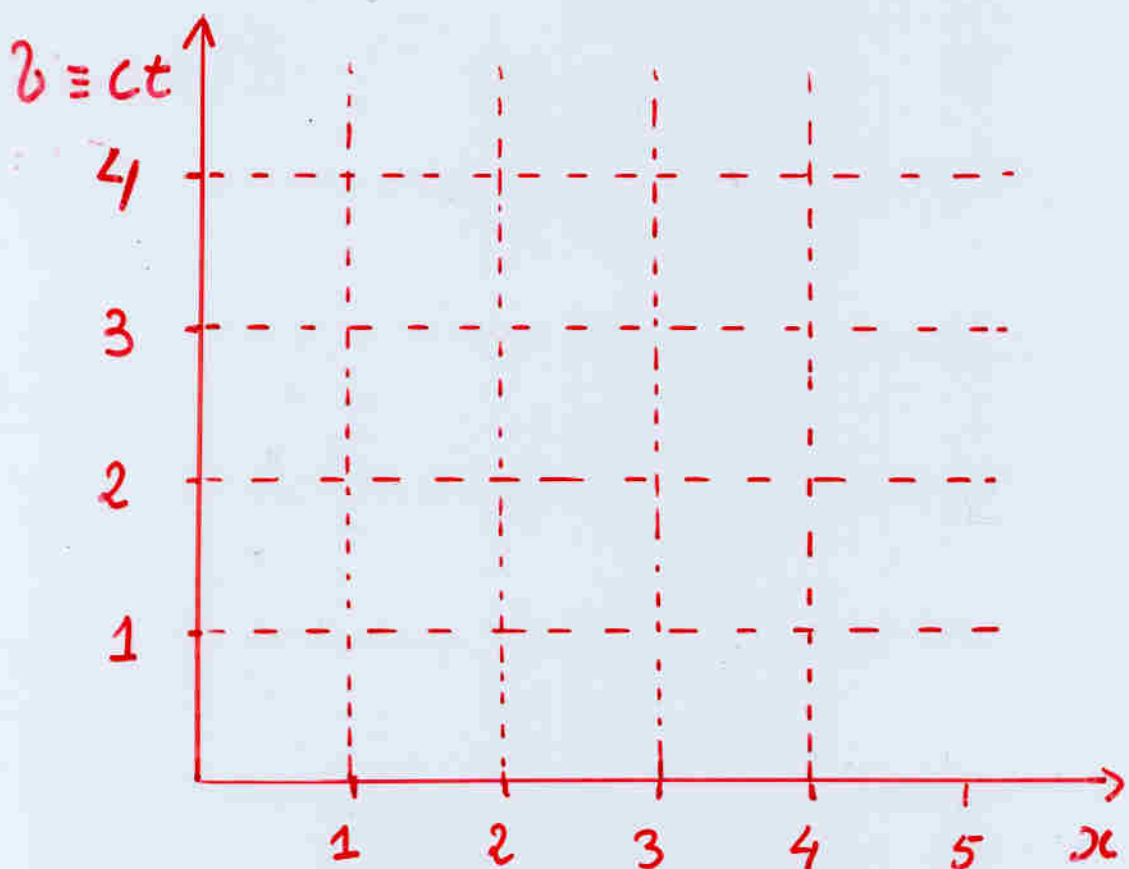
$$z = c t$$

$$z' = \frac{z - \beta x}{\sqrt{1 - \beta^2}}$$

Transformação de Lorentz

Representação gráfica

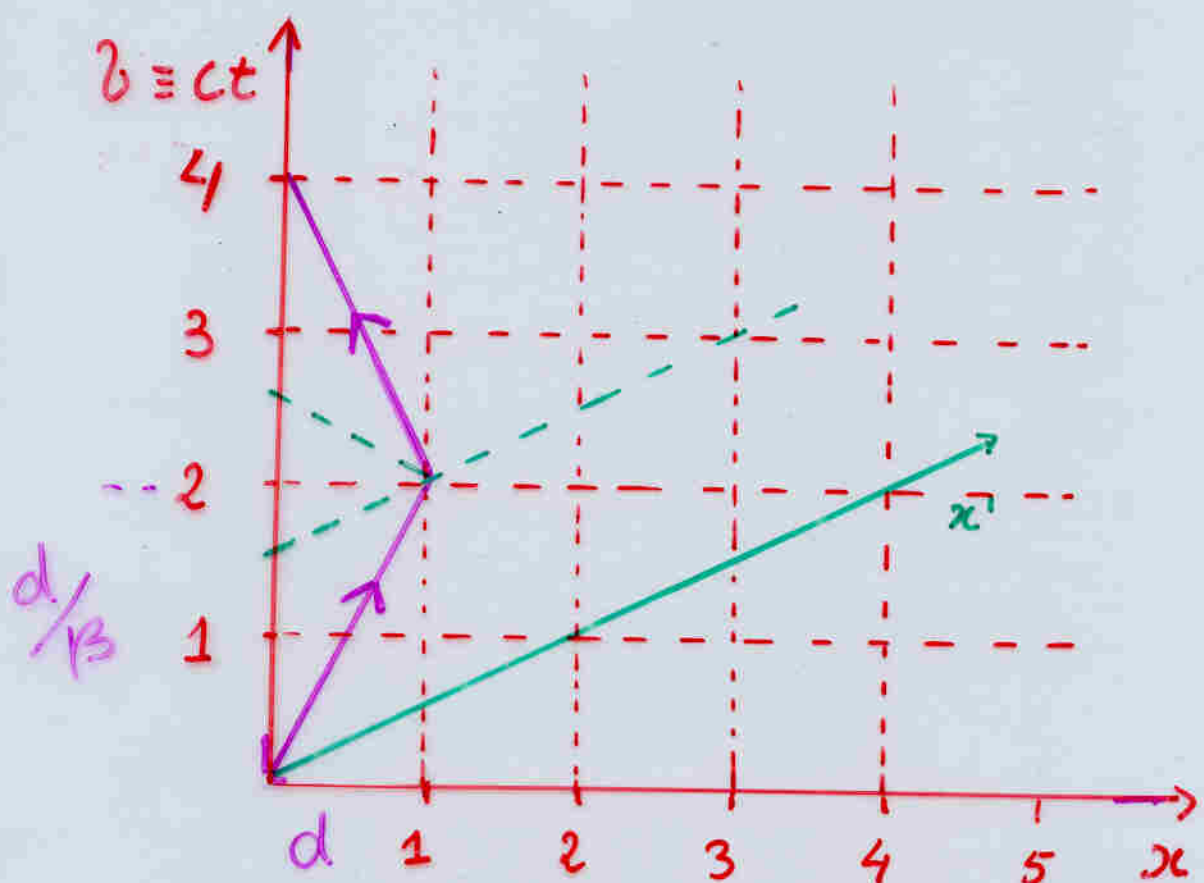
Referencial S



Transformação de Lorentz

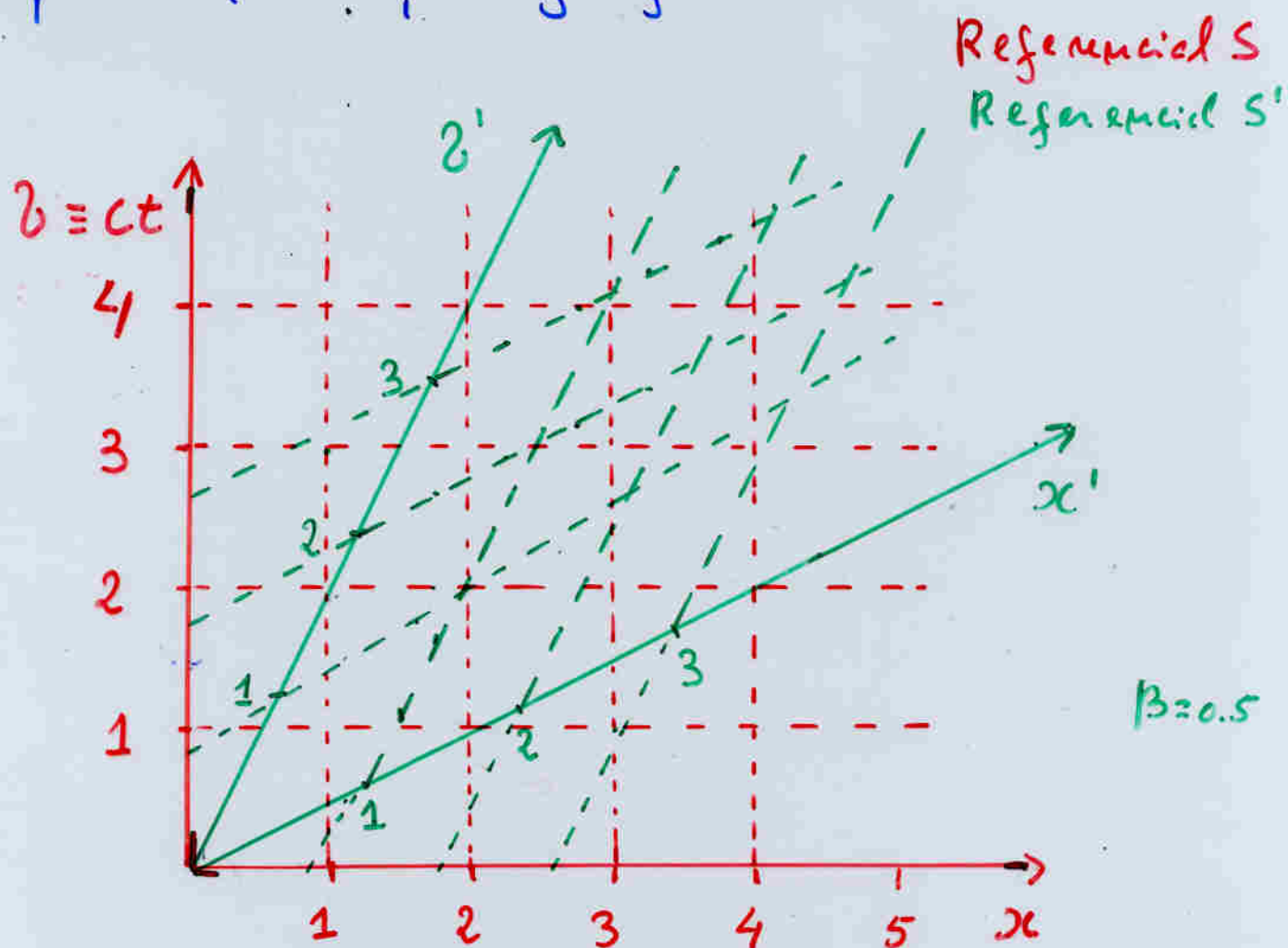
Representação gráfica

Referencial S



Transformação de Lorentz

Representação gráfica



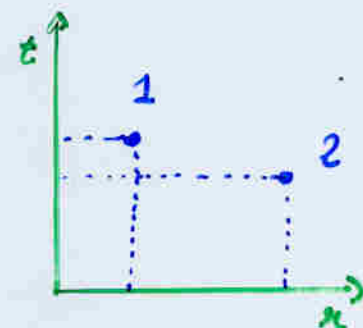
$$v' = 0 \Rightarrow v = \beta x$$

$$x' = 0 \Rightarrow v = x/\beta$$

"Distância entre dois acontecimentos"

$$\Delta s^2 = (c\Delta t)^2 - (\Delta x^2 + \Delta y^2 + \Delta z^2)$$

$$\Delta s'^2 = (c\Delta t')^2 - (\Delta x'^2 + \Delta y'^2 + \Delta z'^2)$$



$$\boxed{\Delta s^2 = \Delta s'^2}$$

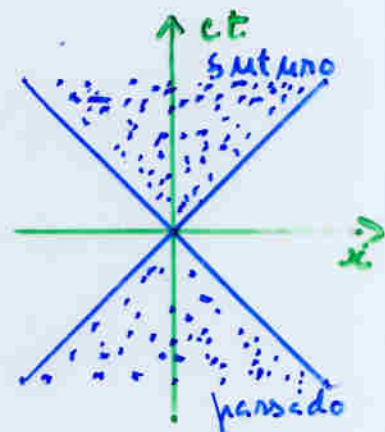
invariante !!!

"Zonas" espaço tempo

$$\Delta s^2 > 0 \quad \text{"time-like"} \quad (z = \sqrt{\Delta s^2})$$

$$\Delta s^2 = 0 \quad \text{com de luz} \quad (\Delta x = c\Delta t)$$

$$\Delta s^2 < 0 \quad \text{"space-like"} \quad (L = \sqrt{-\Delta s^2})$$



Notação "matricial"

$$\Delta s^2 = \underbrace{g_{\mu\nu}}_{X_\mu} X^\mu X^\nu$$

metrícia $g_{\mu\nu}$

$$\begin{bmatrix} 1 & & & \\ & -1 & & 0 \\ & 0 & -1 & \\ & & & -1 \end{bmatrix}$$

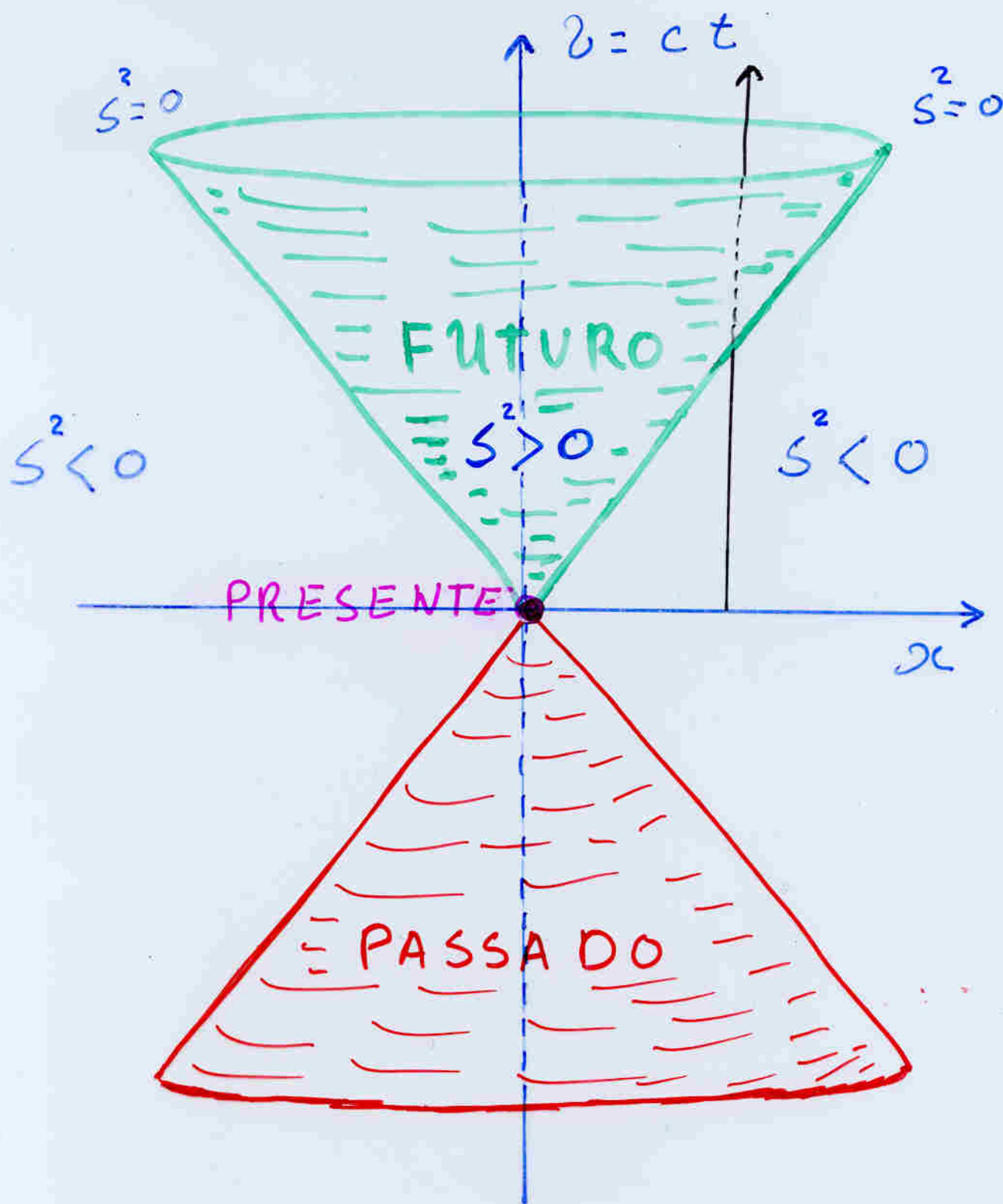
Produto escalar de dois quadrivectores

$$\begin{aligned} a \cdot b &= a_\mu b^\nu \\ &= a^\mu b^\nu - (\vec{a} \cdot \vec{b}) \end{aligned}$$

invariante !!!

$$\begin{aligned} a^2 &= a_\mu a^\mu \\ &= (a^\mu)^2 - |\vec{a}|^2 \end{aligned}$$

Espaço - tempo



$$s^2 = \gamma^2 - x^2$$

Energia e momento

$$\vec{h} = \gamma m \vec{v}$$

$$E = \gamma m c^2$$

$$h = \begin{bmatrix} E/c \\ \vec{h} \end{bmatrix}$$

ganante imp. conservação \vec{h}

$$E = mc^2 \left(1 + \frac{1}{2} \frac{v^2}{c^2} + \dots \right)$$

quadrivector

Algumas relações úteis

$$h^2 = (\frac{E}{c})^2 - |\vec{h}|^2 = mc^2$$

Sistema Natural $c=1$

$$E^2 = |\vec{h}|^2 c^2 + m^2 c^4$$

$$E^2 = p^2 + M^2$$

$$\gamma = E / (mc^2)$$

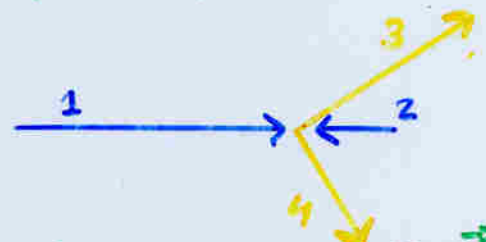
$$\gamma = E/M$$

$$\gamma/c = \vec{h} / (E/c)$$

$$\beta = p/E$$

Colisão duas partículas

$$(h_1 + h_2) = (h_3 + h_4)$$



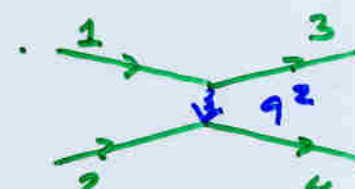
conservação E, \vec{p}

$$\Delta \quad E_{CM}^2 = (h_1 + h_2)^2 = M^2_{CM}$$

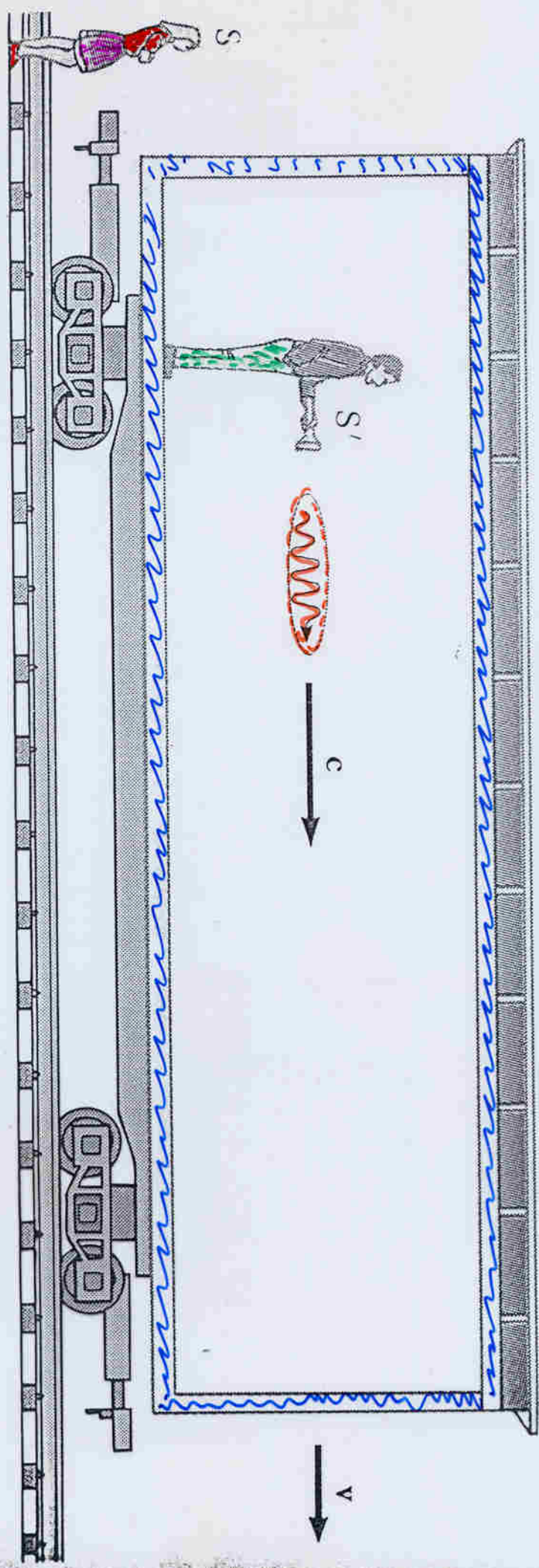
$$(h_{1CM} + h_{2CM}) = (E_{CM}, 0)$$

Massa invariante

$$\begin{aligned} t, q^2 \quad (h_1 \cdot h_3)^2 &= [(E_1 - E_3)^2 - (\vec{h}_1 - \vec{h}_3)^2] \\ &\approx -2 E_1 E_3 (1 - \cos \theta) \\ &\approx -4 E_1 E_3 \sin^2(\theta/2) \end{aligned}$$



$m \ll E$



Cinematica Relativista: Exemplos

E o feno˜o chega &a Terra

$$v_K = 2.19703 \pm 0.00004 \cdot 10^{-6} s$$

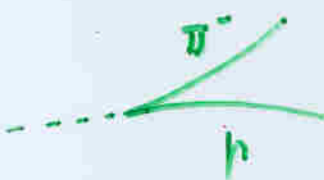
$$c v_K = 658.65 \text{ m !!!}$$

$$\text{Dilata}&\text{c}&\text{o do tempo} \quad \Delta T = \gamma \Delta T' \\ = E/M \Delta T'$$

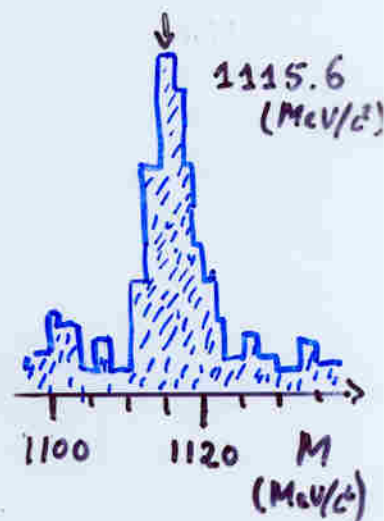
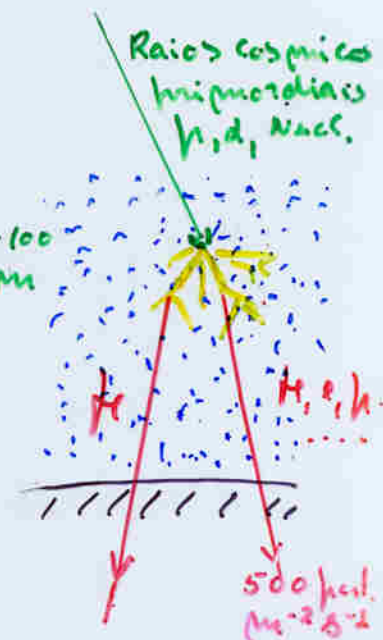
$$m_K = 105.658387 \pm 0.000034 \text{ MeV}$$

$$\gamma \sim 10 - 10^3 (E \sim 1 - 100 \text{ GeV}) !!!$$

A massa do Λ^0

$$\Lambda^0 \rightarrow p \pi^- \Rightarrow \begin{bmatrix} E_{\Lambda^0} \\ \vec{p}_{\Lambda^0} \end{bmatrix} = \begin{bmatrix} E_p \\ \vec{p}_p \end{bmatrix} + \begin{bmatrix} E_\pi \\ \vec{p}_\pi \end{bmatrix}$$


$$M_{\Lambda^0}^2 = [(E_p + E_\pi)^2 - (\vec{p}_p + \vec{p}_\pi)^2]$$



Alvo fixo versus Areal de colisão

$$[(E_{CM}, 0)]^2 = [(E_{lab}, P_{lab}) + (M, 0)]^2$$

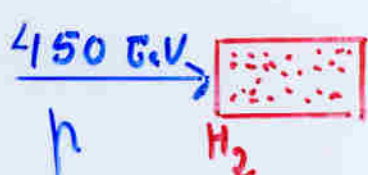
$$E_{CM}^2 = (E + M)^2 - P_{lab}^2$$

$$= 2M^2 + 2E_1 M$$

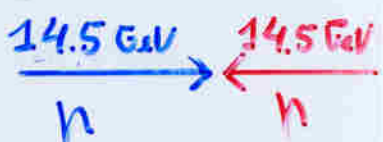
de $M \ll E$

$$E_{CM} \approx \sqrt{2P_{lab} M}$$

$$\approx \sqrt{2 \times 450} \approx 29 \text{ GeV}$$



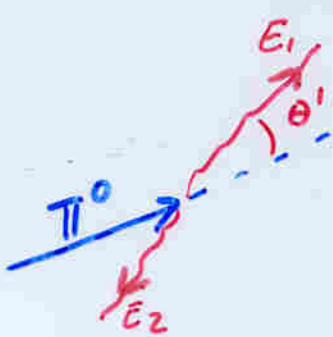
=



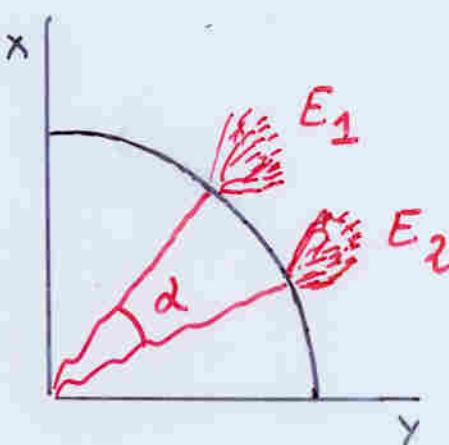
mas $p \ll !!!$

π^0 identification

Kinematics . . .



\Rightarrow



$$E_{\gamma_1} = \gamma \frac{M\pi}{2} (1 + \beta \cos \theta')$$

$$\gamma = E\pi / M\pi$$

$$E_{\gamma_2} = \gamma \frac{M\pi}{2} (1 - \beta \cos \theta')$$

$$\beta = p\pi / E\pi$$

$$d_{\min} = \frac{2 M\pi}{P\pi}$$

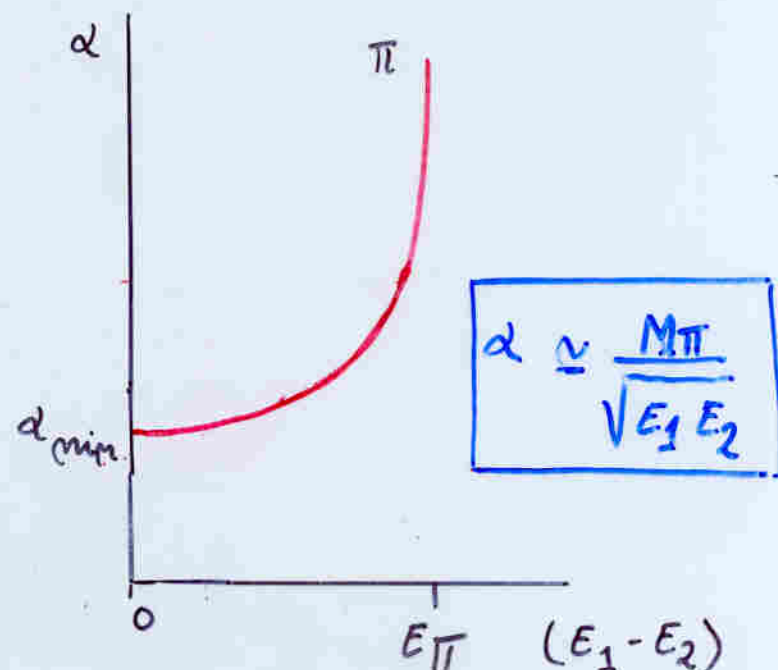
$$P_{E\gamma < E'} = \frac{2 E'}{P\pi}$$

5 GeV/c

$$d_{\min} \approx 0.054 \text{ Rad}$$

DELPHI BARREL $\approx 12 \text{ cm}$

$$P_{E\gamma < 0.5} \approx 20\% !!!$$

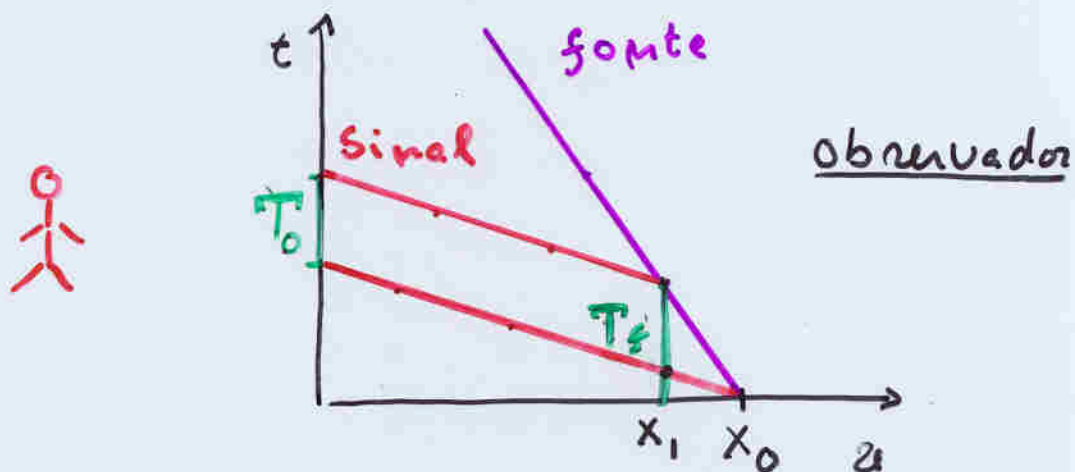
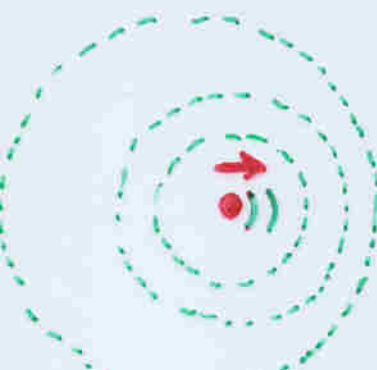


Problems . . .

- low energy photon
- separation between two photons
- conversion

Efeito de Doppler

Fonte em movimento
observador parado



$$T_0 = T_f - \frac{x_0 - x_1}{v_s}$$

$$T_0 = T_f - \frac{v_f T_f}{v_s} = \frac{v_s - v_f}{v_s} T_f$$

Clássica

$$T_f = T'_f \Rightarrow$$

$$f = \frac{v_s}{v_s - v_f} f'$$

Relativista

$$T_f = \gamma T'_f \Rightarrow$$

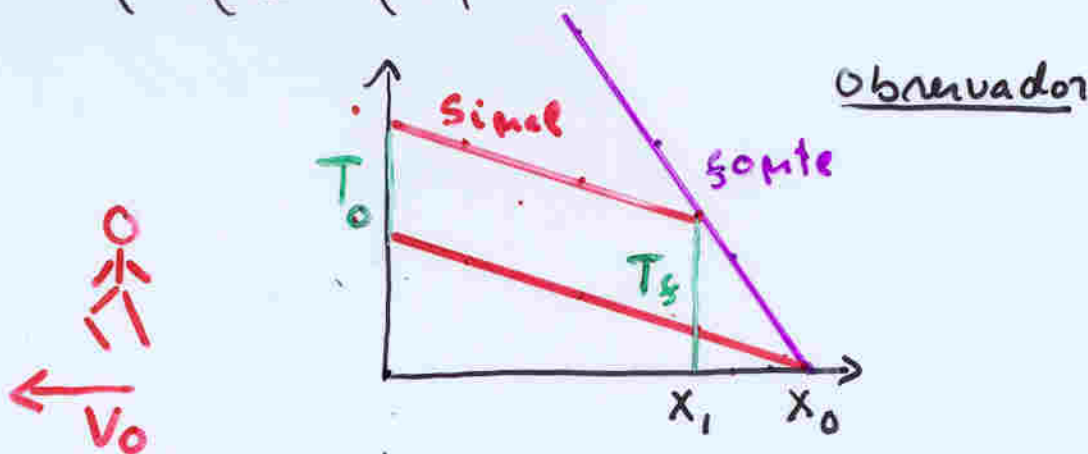
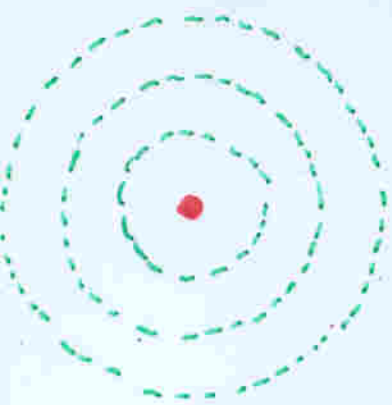
$$f = \frac{1}{\gamma} \frac{v_s}{v_s - v_f} f'$$

$$f = \sqrt{\frac{c + v_f}{c - v_f}} f' \quad v_s = c$$

Efeito de Doppler

Fonte emanação

Observador em movimento



$$T_0 = T_s - \frac{x_0 - x_1}{v_R}$$

$$T_0 = T_s - \frac{v_o}{v_R} \quad T_s = \frac{v_R - v_o}{v_R} T_0$$

Clássica

$$T_s = T'_s \quad v_R = v_o + v_s$$

$$f = \frac{v_s + v_o}{v_s} f'$$

Relativista

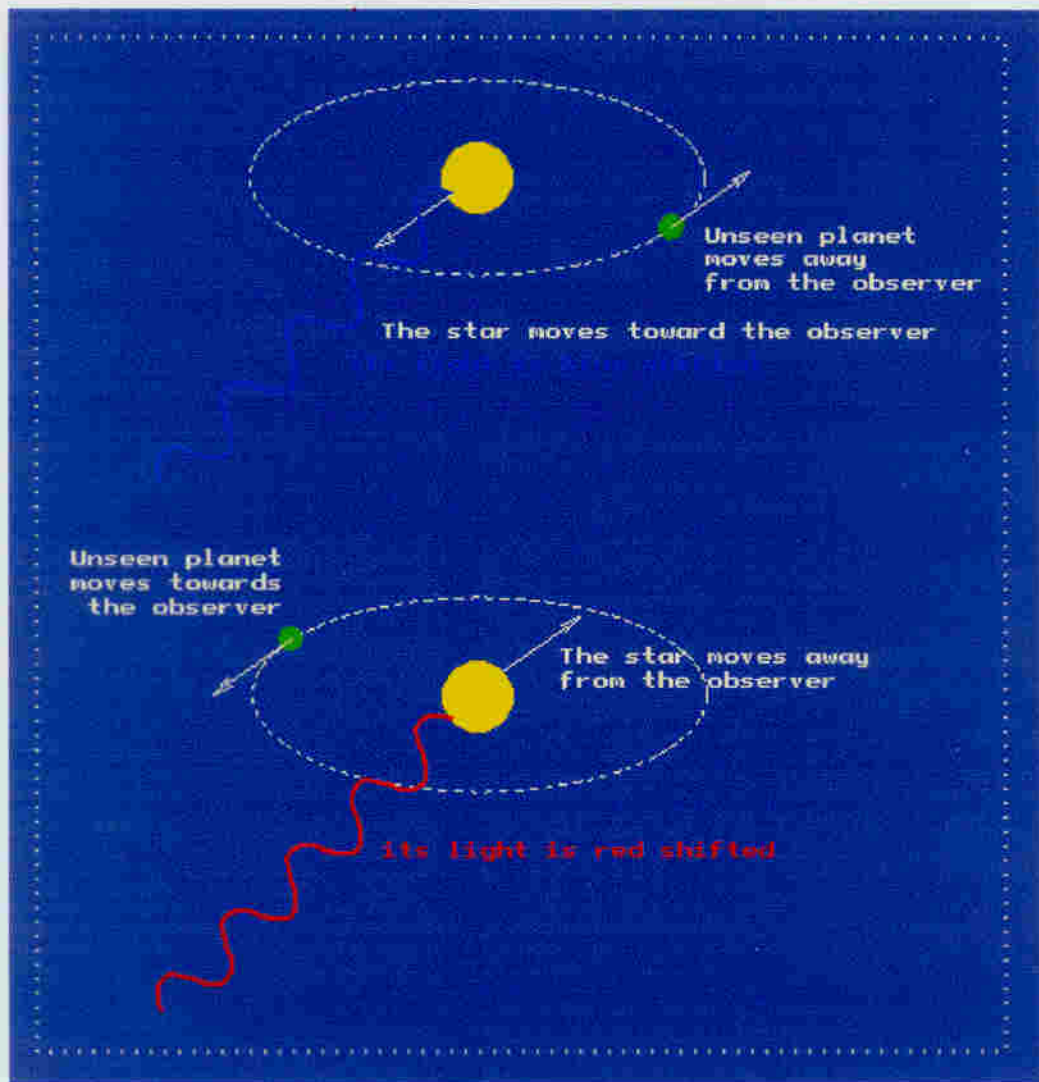
$$T_s = \gamma T'_s$$

$$v_R = \frac{v_s + v_o}{1 + \frac{v_o v_s}{c^2}}$$

\Rightarrow

$$f = \frac{1}{\gamma} \frac{v_s + v_o}{v_s} f'$$

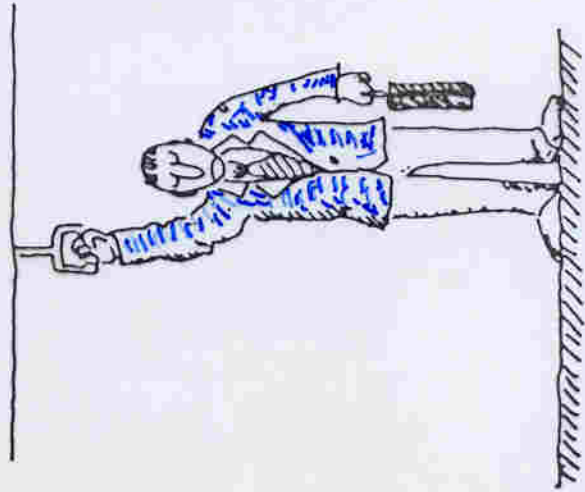
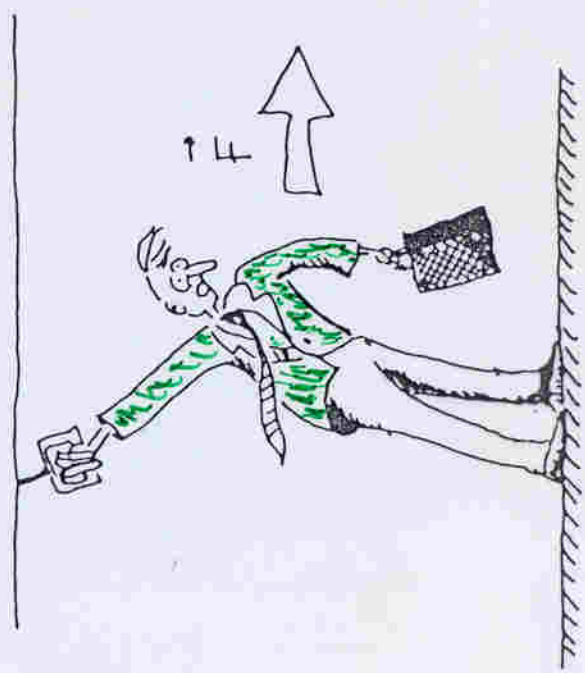
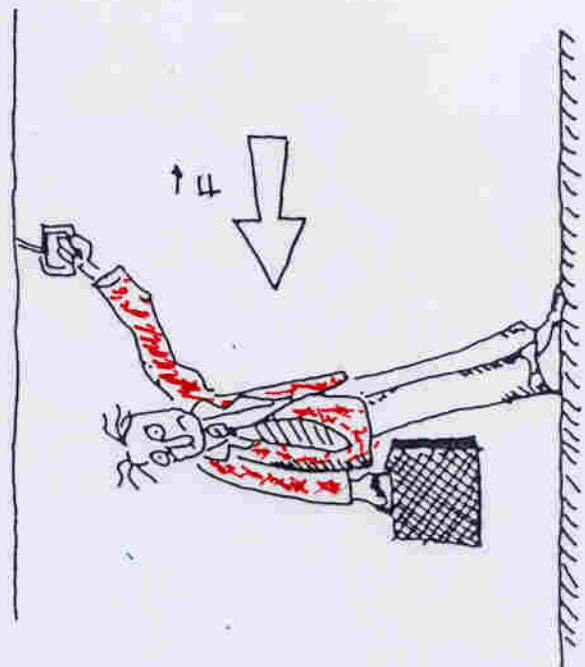
$$f = \sqrt{\frac{c + v_o}{c - v_o}} f' \quad v_s = c$$



Velocidade induzida no Sol por Júpiter = 13 m/s

Precisão do Doppler ~ 3 m/s
obtida actualmente $\lambda \approx 10^{-8}$

1º Planeta descoberto à volta da estrela 51 Pegasus na constelação Pegasus



Referenciais

Inerciais

$$\vec{F} = m \vec{a}$$

Não inerciais

$$\vec{F} \neq m \vec{a}$$
$$= m \vec{a} + m \vec{g}$$
$$= m \vec{a} + m \vec{\omega}(\vec{\omega} \times \vec{r}) + \dots$$

argumento circular !!!

Princípio de Mach

A iméria de uma partícula depende da distribuição das massas no resto do Universo!

Ref. Inércia
≡
C.M. Universo

Origem das forças fictícias

cargas aceleradas \Rightarrow Radiação
electromagnética

massas aceleradas \Rightarrow Radiação
gravítica

[Indução inercial - D. Scamra]

Princípio de Equivaléncia

Fraco

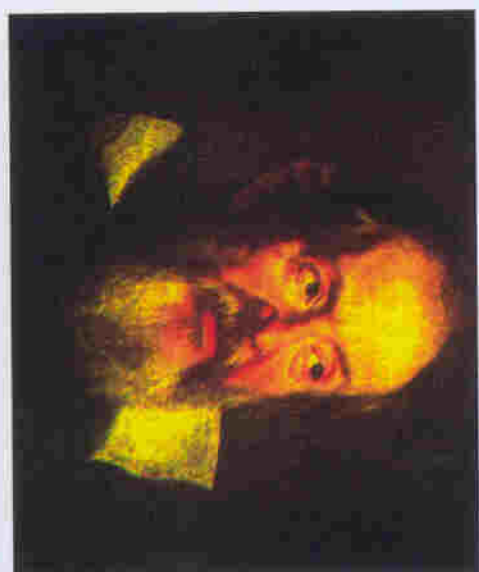
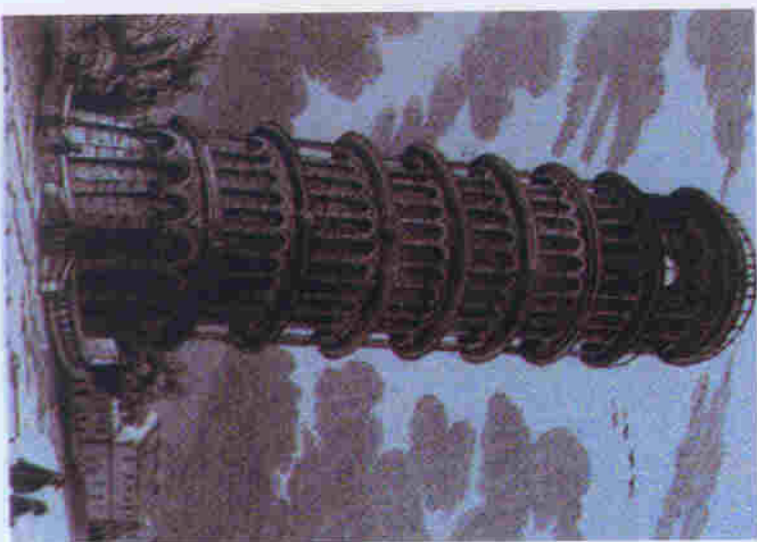
$$m_I \equiv mg !$$

Newton 1687 - Principia Mathematica

"This quantity that I mean here after
under the name of ... Mars ... is known
by the weight... for it is proportional
to the weight as I found by experiment
on pendulums, very accurately
made"

Resultados experimentais

		m_I/mg
500? Philoponus	- queda torre?	?
1590? Galileu	- "	10^{-2}
<u>1686 Newton</u>	<u>- Pendulo</u>	10^{-3}
1832 Bessel	- "	10^{-5}
1923 Peter	- "	10^{-6}
<u>1922 Eotvos</u>	<u>- balance torque</u>	10^{-8}
1964 Dick et al	- "	10^{-11}
1972 Braginsky, Ponom	"	10^{-12}
1976 Shapkin et al	- Largua	10^{-12}
1987 Kaiser, Faller	- Suporte tenso	10^{-10}
1990 Wiebusch et al	- queda torre	10^{-10}
<u>2004? Adelberg</u>	<u>- órbita terra</u>	$10^{-18} ?$



Se se deixar cair ri multa-meamente
da mesma altura dois conjos que
dijeron bastante no seu peso, descobri-
-se-a que a razão dos seus tempos de queda
não corresponde à razão dos seus pesos
mas que a diferença entre os tempos é
muito pequena.

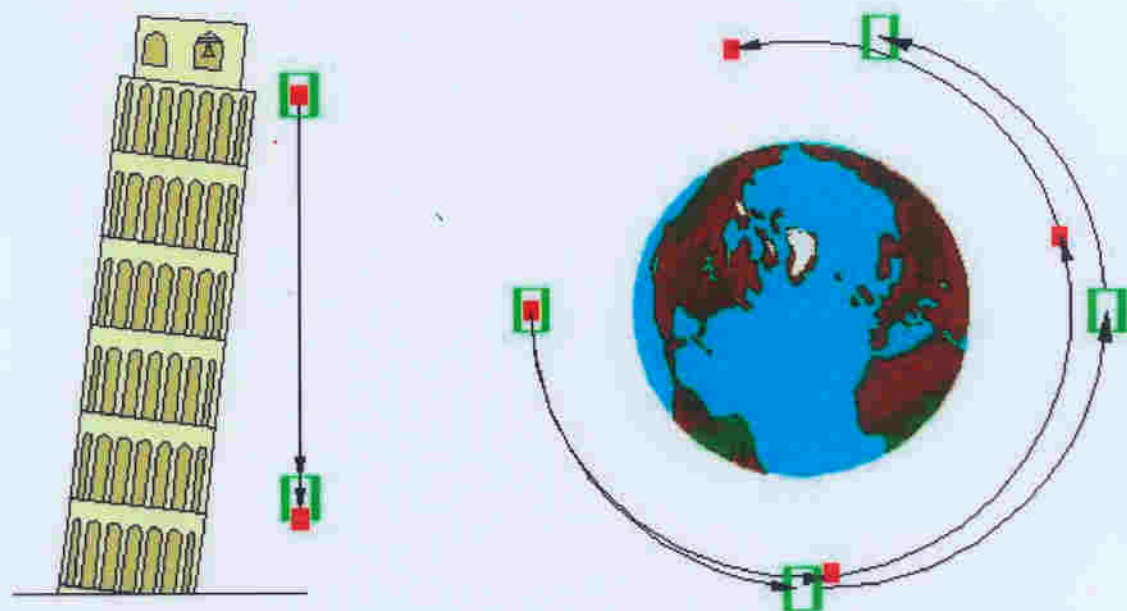
John Philoponus - Alexandria 513 AD

A velocidade de conjos em quinze milha
da mesma composição mas de pesos diferentes
não está na proporção dos seus pesos como
pretende Aristóteles, mas pelo contrário
move-se com a mesma velocidade,
que foi provado por experiências repetidas
a partir do topo do campo aberto de Pisa
na presença de todos os outros professores,
filósofos e estudantes ...

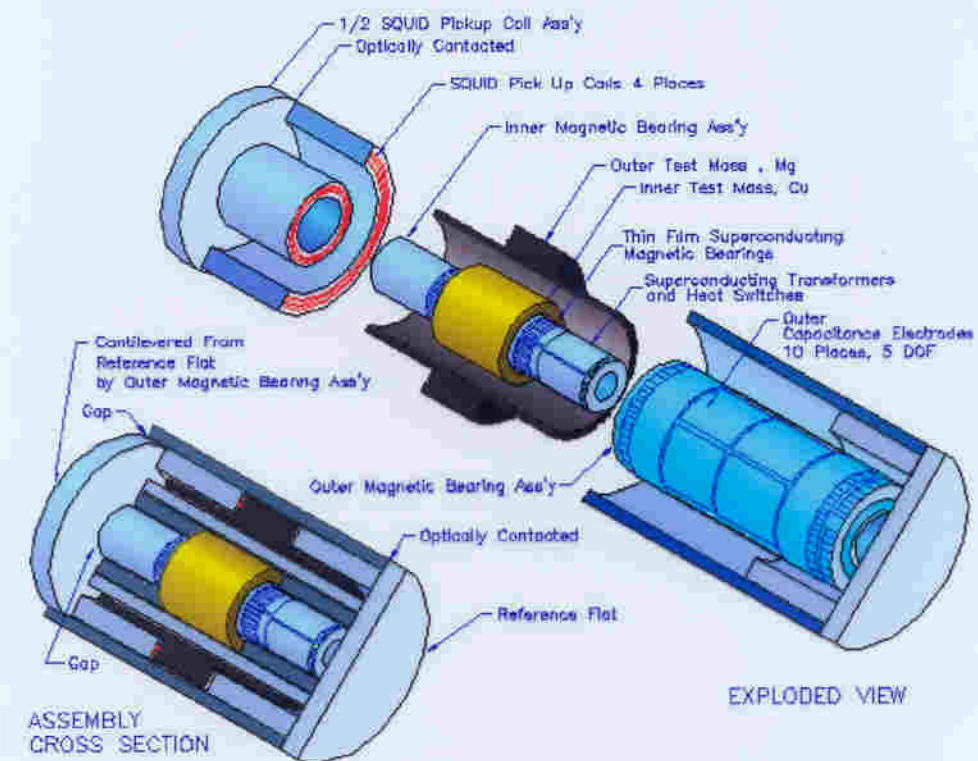
Vicenzo Vipiani - Estudante de Galileu

Relatividade
Restrita e geral

STEP



STEP ACCELEROMETER CONCEPT



Princípio da Equivaléncia

Forte

Einstein

- Os resultados de experiências locais num referencial em queda livre são independentes do estado de movimento do referencial
- Todas as leis da física têm a mesma forma num referencial em queda livre do que teriam na ausência de gravidade

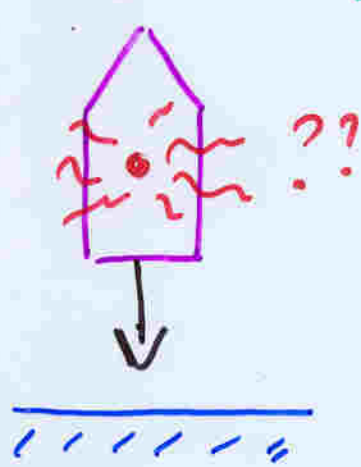
Forças de maré
"tidal attraction"



Validade do Princípio
Equivaléncia para
partículas carregadas?

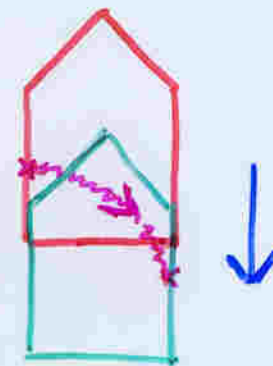
- Feynman - Lectures on
gravitation pag 123

- Rohrlich - Classical
charged particles pag 215



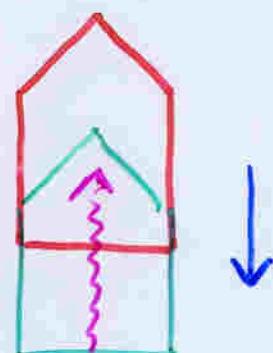
Luz num referencial em queda livre

- A luz curva num campo gravitico
[Eclipse do Sol]



- A luz muda de frequencia num campo gravitico

Os pontos de emissão e receção da luz correspondem a referenciais de origens com velocidades diferentes



$$\Delta\nu = g h/c$$

existindo assim um efeito de Doppler

$$\frac{\Delta V}{V} \sim \frac{\Delta\nu}{c} \sim g h/c^2 \sim \frac{\Delta\phi}{c^2}$$

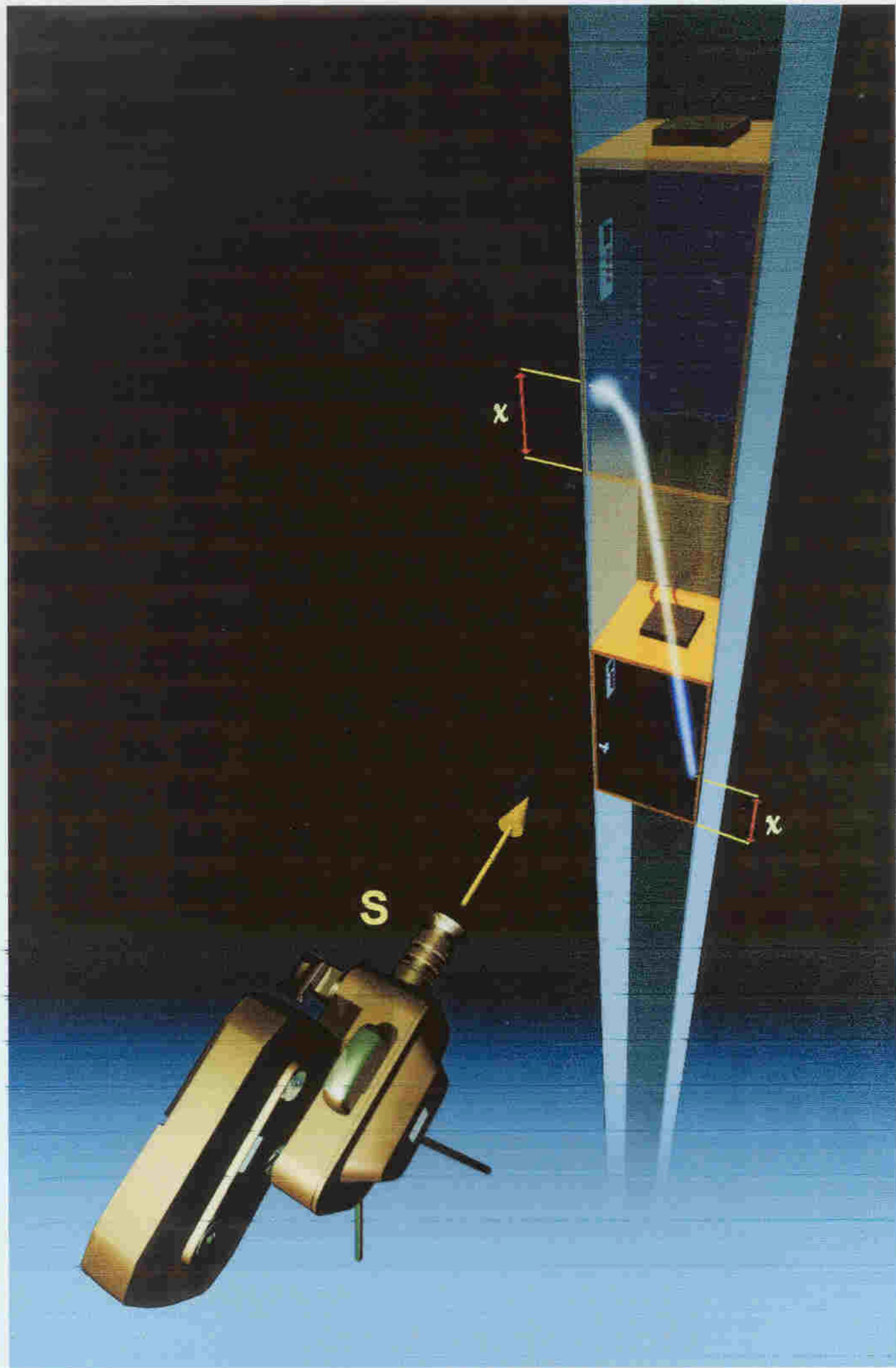
[Se pensarmos que o fôton tem de "vencer" o potencial gravitico]

$$\frac{\Delta E}{E} = \frac{\Delta\phi_{\text{max}}}{E} = \frac{\Delta\phi}{c^2} \frac{hv}{c^2}$$

$$\frac{\Delta V}{V} \sim \frac{\Delta\phi}{c^2} \approx \frac{\Delta t}{t}$$

O relogio em baixo anda mais devagar





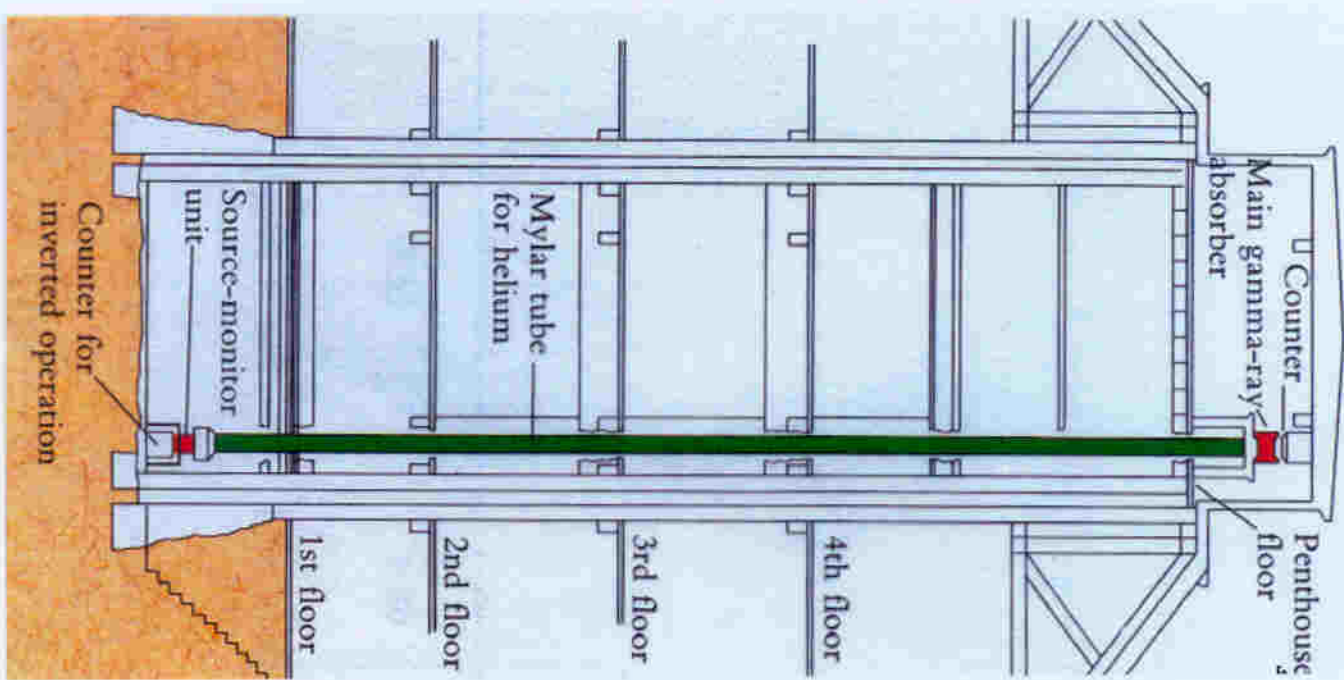
Pound and Rebka (1960)

Fotoôs de 14.4 keV e emitidos
do decaiamento radioativo
do Fe⁵⁷ em queda de 22.6 m
uma tonne.

$$\frac{\Delta V}{V} = -2.47 \cdot 10^{-15} \text{ (univiso)}$$

$$= -2.57 \pm 0.26 \cdot 10^{-15}$$

O relojio na base da tonne
anda mais devagar !!!
Isso em 100 milhões de anos



Espaços curvos (2 dimensões)

Esféra de raio a

$$ds^2 = a^2 d\theta^2 + a^2 \sin^2 \theta d\varphi^2$$

ou genericamente

$$ds^2 = [d\mu, d\nu] \begin{bmatrix} g_{11} & g_{12} \\ g_{21} & g_{22} \end{bmatrix} \begin{bmatrix} d\mu \\ d\nu \end{bmatrix}$$

diagonalizando

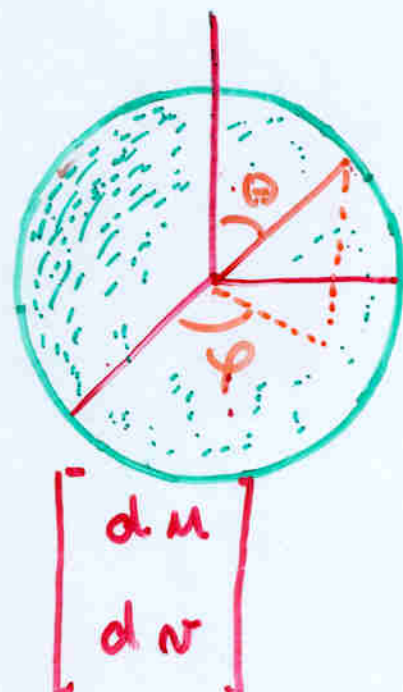
$$d\varrho_1 = \sqrt{g_{11}} d\mu + \frac{g_{12}}{\sqrt{g_{11}}} d\nu$$

$$d\varrho_2 = \sqrt{g_{22} - \frac{g_{12}^2}{g_{11}}} d\nu$$

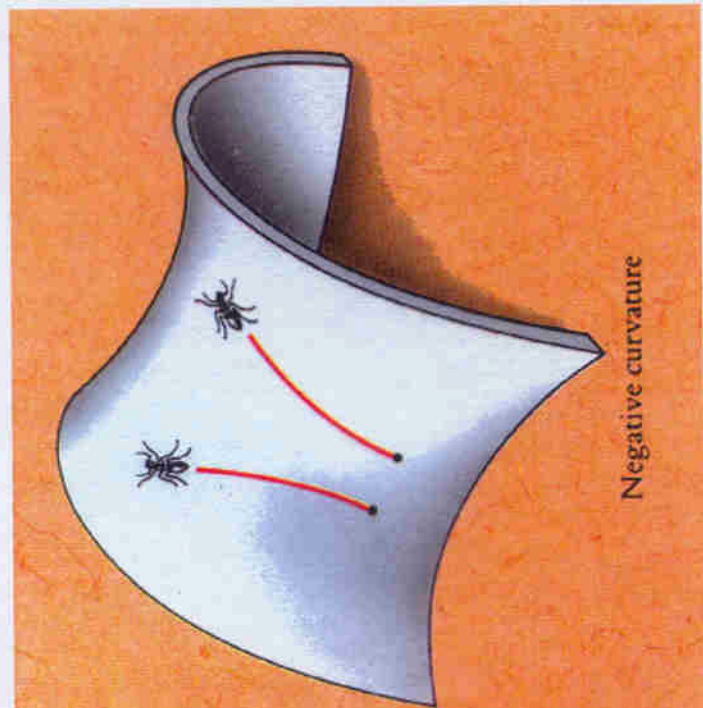
$$ds^2 = d\varrho_1^2 + d\varrho_2^2$$

É possível encontrar localmente um espaço plano tangente mas é impossível cobrir toda a superfície da esfera com um único plano

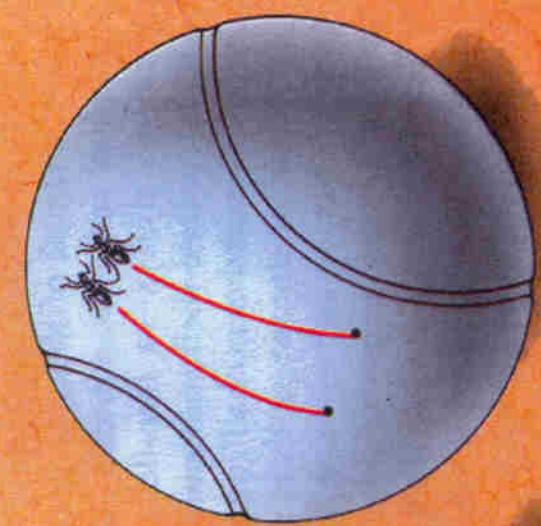
$$[g_{\mu\nu} \neq \text{cte} !!!]$$



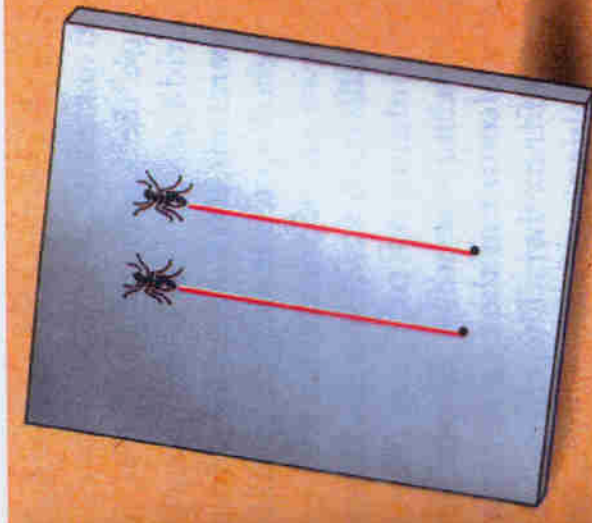
Negative curvature



Positive curvature



Zero curvature



Geometria de espaços curvos

Gauss

A geometria dum espaço pode ser determinada por medidas no próprio espaço!

geometrias não Euclidianas [2dim]

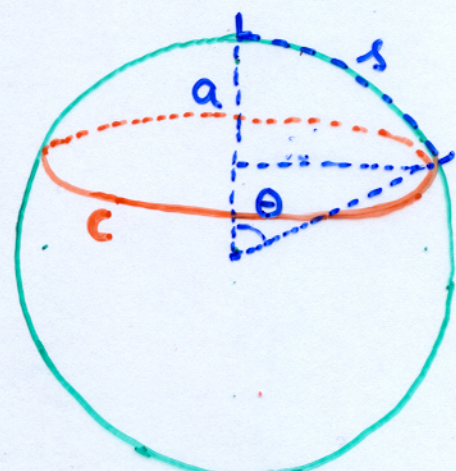
- \sum ângulos dum $\Delta \neq 180^\circ$
- Não há geodésicas \parallel e infinitas
- O perímetro dumha $\odot \neq 2\pi R$
- ...

Curvatura da esfera

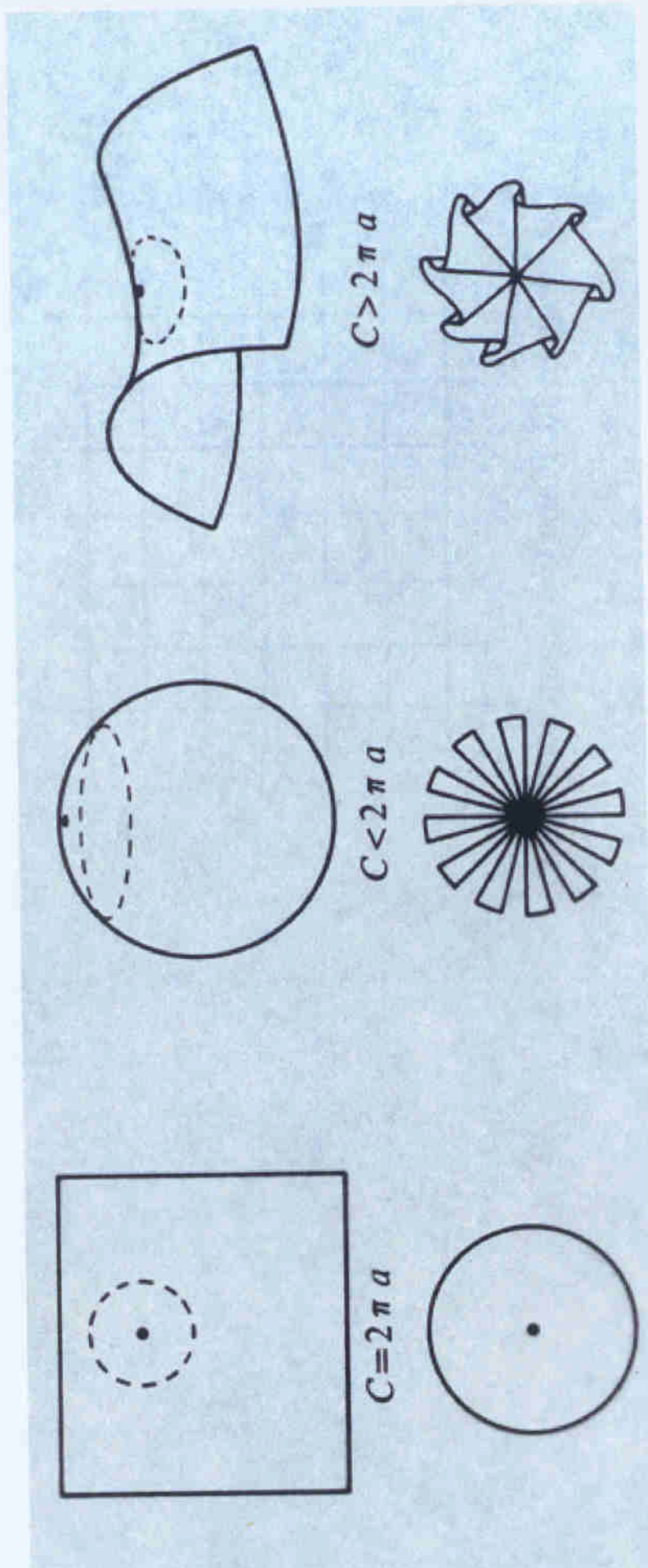
$$K = \frac{3}{\pi} \lim_{\delta \rightarrow 0} \left(\frac{2\pi s - c}{s^3} \right)$$

$$c = 2\pi a \sin \theta$$

$$= 2\pi a \left(1 - \frac{s^2}{6a^2} + \dots \right)$$



$$K = \frac{1}{a^2}$$



Métricas ...

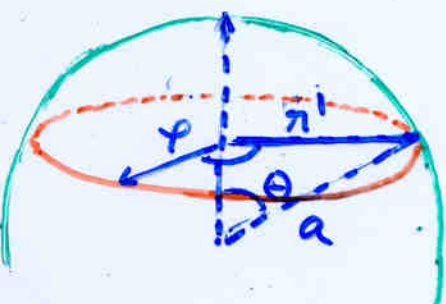
2 dimensões

coordenadas (r' , φ)

$$r' = a \cos \Theta$$

$$dr' = a \cos \Theta d\Theta \quad \cos \Theta = \sqrt{1 - r'^2/a^2}$$

$$ds^2 = \frac{dr'^2}{1 - K r'^2} + r'^2 d\varphi^2$$



$$\begin{aligned} K &= \frac{1}{a^2} \text{ esfera} \\ &= 0 \quad \text{plano} \end{aligned}$$

fazendo

$$r = r'/a, K = K a^2$$

$$ds^2 = a^2 \left(\frac{dr^2}{1 - K r^2} + r^2 d\varphi^2 \right) \quad K = 1, 0, -1$$

"distância" de $r=0$ a $r=R$ com $\varphi = \text{cte}$

$$s = \int_0^R \frac{dr}{\sqrt{1 - K r^2}} = \begin{cases} a \arcsin(R) & K = 1 \\ a R & K = 0 \\ a \operatorname{arcsinh}(R) & K = -1 \end{cases}$$

3 dimensões

$$ds^2 = a^2 \left(\frac{dr^2}{1 - K r^2} + r^2 (d\theta^2 + \sin^2 \theta d\varphi^2) \right)$$

$$= a^2 \left(\frac{dr^2}{1 - K r^2} + r^2 d\Omega^2 \right)$$

Espaço-tempo curvos

Num espaço homogêneo e isotrópico
[Robertson-Walker]

$$ds^2 = dt^2 - a^2(t) \left(\frac{dr}{1-Kr^2} + r^2 d\varphi^2 + r^2 \sin^2 \theta d\theta^2 \right)$$

$$\begin{cases} \text{se } K=0 & ds^2 = \eta_{AB} u^A u^B \quad \eta_{AB} = \begin{bmatrix} 1 & & & \\ & -1 & & \\ & & -1 & \\ & & & -1 \end{bmatrix} \\ & (\text{coordenadas cartesianas}) \end{cases}$$

de um modo mais geral

$$ds^2 = g_{\mu\nu} dx^\mu dx^\nu \quad \text{e} \quad ds^2 = c dz^2$$

que corresponde a uma equação das geodésicas (movimento queda livre)

$$\frac{d^2 x^\mu}{dz^2} + \Gamma_{\mu\nu}^\mu \frac{dx^\mu}{dz} \frac{dx^\nu}{dz} = 0 \quad ds^2 \text{ máximo}$$

$$\Gamma_{\mu\nu}^\mu = \frac{g^{\mu\rho}}{2} \left(\frac{\partial g_{\nu\rho}}{\partial x^\mu} + \frac{\partial g_{\mu\rho}}{\partial x^\nu} - \frac{\partial g_{\mu\nu}}{\partial x^\rho} \right)$$

Γ simbolos de Christoffel só dependem da métrica (geometria).

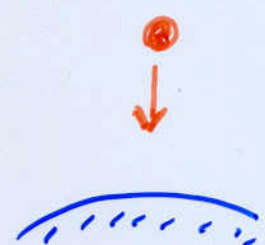
$$\begin{bmatrix} \Gamma_{\mu\nu}^\mu = 0 & \text{num espaço plano} \\ \frac{d^2 x^\mu}{dz^2} = 0 & \end{bmatrix}$$

Movimento de queda livre num campo gravítico fraco e estático

Pag 274
Bergström

- Leis de Newton

$$\frac{d^2 x^i}{dt^2} = - \frac{\partial \phi}{\partial x^i}$$



[Na vizinhança de uma massa esférica M]

$$\phi = - \frac{GM}{r}$$

- geodésicas

$$\text{se } dx^i \ll dx^0 \equiv c dt$$

$$\frac{d^2 x^0}{dz^2} + \Gamma_{00}^0 \left(\frac{dt}{dz} \right)^2 = 0$$

$$\text{fazendo } g_{\mu\nu} = \eta_{\mu\nu} + h_{\mu\nu}$$

$$\frac{d^2 x^i}{dt^2} = - \frac{1}{2} c^2 \frac{\partial h_{00}}{\partial x^i}$$

$$\left[\Gamma_{00}^0 = \frac{\eta^{0p}}{2} \frac{\partial h_{00}}{\partial x^p} \right]$$

onde

$$h_{00} \approx 2 \frac{\phi}{c^2}$$

[Doppler gravítico]

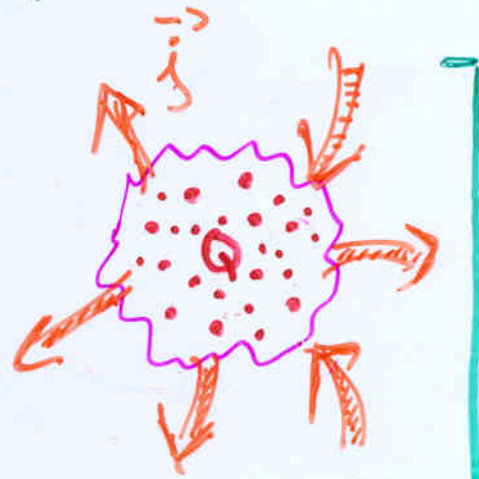
$$\Delta z^2 = \left(1 - \frac{\Delta \phi}{c^2} \right)^2 \Delta t^2 \approx \left(1 - 2 \frac{\Delta \phi}{c^2} \right) \Delta t^2$$

Tensor de Energia-momento

Equação contínuidade
= conservação carga

$$\frac{\partial}{\partial t} \rho + \nabla_i \vec{j} = 0$$

$$\partial_K j^K = 0$$



Equação de conservação Energia-momento

$$\frac{\partial}{\partial x^0} T^{k0} + \nabla_i T^{ki} = 0$$

$$\frac{\partial}{\partial x^0} T^{ku} = 0$$

e m que (gaz de partículas)

$$T^{k0} = \sum_{i=1}^N \rho_i^k(t) \delta^3(r - r_i(t)) \quad \text{"cargas"}$$

$$T^{kk} = \sum_{i=1}^N \rho_i^k(t) \frac{d x_i^k}{dt} \delta^3(r - r_i(t)) \quad \text{"correntes"}$$

$$T^{mu} = \begin{bmatrix} T^{00} & T^{01} & T^{02} & T^{03} \\ \cdot & T^{11} & T^{12} & T^{13} \\ \cdot & \cdot & T^{22} & T^{23} \\ \cdot & \cdot & \cdot & T^{33} \end{bmatrix}$$

T^{00} = densidade energia
 T^{0i} = fluxo momento
 T^{ii} = pressão isotrópica
 T^{ij} = "a pressão anisotrópica"

Energia - momento num fluido perfeito (sem viscosidade)

Referencial hóspio

$$T^{00} = \rho c^2 \quad \text{densidade de energia}$$

$$T^{0i} = 0$$

$$T^{ij} = \rho \delta_{ij} \quad \text{pressão}$$

A pressão tem a dimensão de unidade de densidade de Energia.

$$\delta W = F \cdot d\pi = P dV$$

A pressão traduz a "energia cinética" do fluido

Referencial com velocidade \mathbf{u}^k

$$T^{ku} = (\rho + \frac{\rho u^2}{c^2}) u^k u^j - \rho g^{ku}$$

E num referencial acelerado

$$T^{ku} = (\rho + \frac{\rho u^2}{c^2}) u^k u^j - \rho g^{ku}$$

Equações de Einstein

A curvatura do espaço tempo é proporcional à densidade de energia e momento!

$$G^{MU} = cte \cdot T^{MU}$$

$$cte = \frac{8\pi}{c^4} G$$

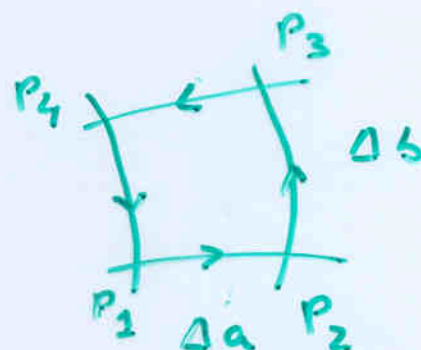
Recupera Newton

Construção do tensor de Einstein G_{KV}

transporte paralelo dum vector

$$V^K \rightarrow V^K + \delta V^K$$

$$\delta V^K = \Delta a^{\alpha} \Delta b^{\beta} V^{\circ} R^K_{\alpha\beta}$$



$$R^K_{\alpha\beta\gamma} = \frac{\partial \Gamma^K_{\gamma\alpha}}{\partial u^\beta} - \frac{\partial \Gamma^K_{\gamma\beta}}{\partial u^\alpha} + \Gamma^K_{\rho\alpha} \Gamma^\rho_{\gamma\beta} - \Gamma^K_{\rho\beta} \Gamma^\rho_{\gamma\alpha}$$

$R^K_{\alpha\beta\gamma}$ = tensor de Riemann 256 componentes!
(simetrias...)

$$R_{KU} = g^{KU} R_{\alpha\beta\gamma\delta}$$

tensor de Ricci

$$R = g^{KU} R_{KU}$$

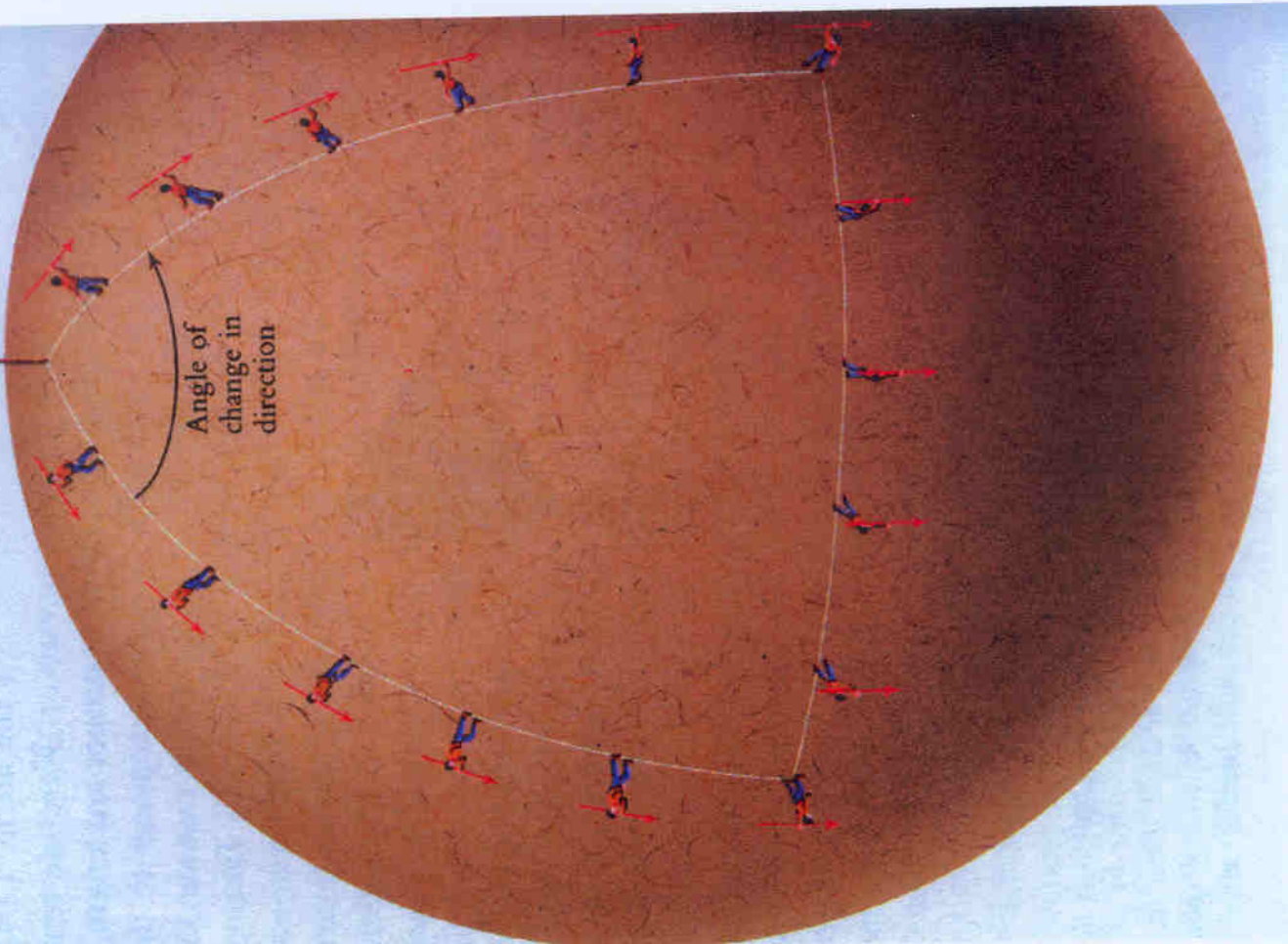
Escalar de Ricci

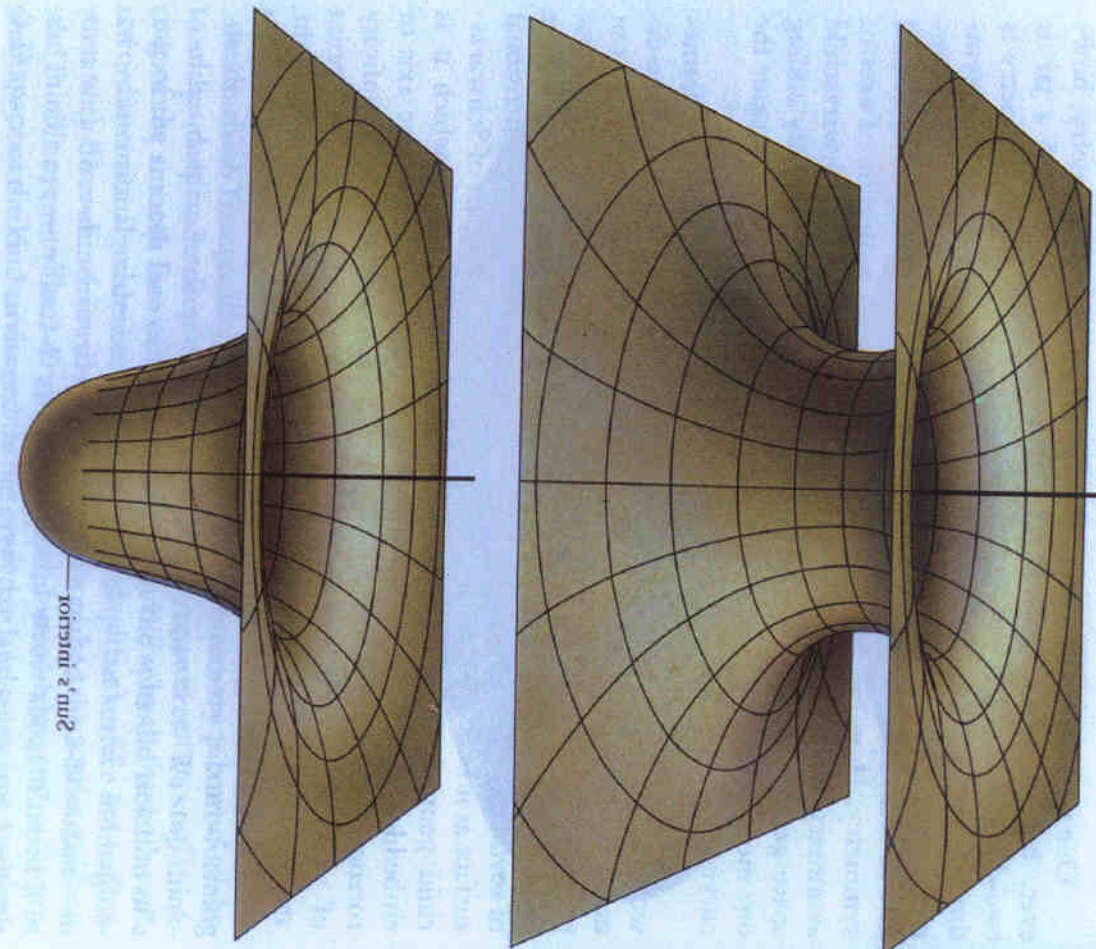
$$G_{KU} = R_{KU} - \frac{1}{2} g_{KU} R$$

$$\delta_V G^{MU} = 0 !$$

como

$$\delta_V T^{KU} = 0$$





Atracção gravitica devida
a um fluido relativista

Na presença de um fluido relativista
& de um campo gravitico fraco as Eq.
de Einstein conduzem a:

$$\nabla^2 \phi = 4\pi G (\rho + 3p/c^2)$$

O teorema de Gauss para o campo
gravitico escreve-se

$$\vec{\nabla} \cdot \vec{E}_g = 4\pi G \rho$$

$$\nabla^2 \phi = 4\pi G \rho$$

como se nunc

$$\rho \sim \frac{1}{3} \rho c^2$$

então

$$P_{eg} = 2\rho$$

A luz tem uma massa "efectiva" superior
num factor 2 é obtida na relatividade
restrita ...

A solução de Schwarzschild

Métrica do espaço-tempo em torno de uma massa M estática

$$d\lambda^2 = \left(1 - \frac{2GM}{r}\right) dt^2 - \frac{dr^2}{1 - 2GM/r} -$$
$$- r^2 d\theta^2 - r^2 \sin^2\theta d\varphi^2$$

- Os eixos das órbitas em torno de uma massa central nôrdica (movimento do perigílio)
- A luz que percorre a mesma distância b de um corpo central é reflectida de $\Delta\theta = 4GM/b$
- Se a densidade de um corpo for muito elevada ($n < n_s = \frac{2GM}{c^2}$) a luz não "encontra" luz (Branco negro!!!)



